

PROPONENTE:

HEPV06 S.R.L.

via Alto Adige, 160/A - 38121 Trento (TN)

hepv06srl@arubapec.it

MANAGEMENT:

**EHM.Solar**

EHM.SOLAR S.R.L.

Via della Rena, 20 39100 Bolzano - Italy

tel. +39 0461 1732700

fax. +39 0461 1732799

info@ehm.solar

c.fiscale, p.iva e R.I. 03033000211

NOME COMMESSA:

Costruzione ed esercizio impianto Agrovoltaico avente potenza in immissione pari a 66.000 kW e potenza moduli pari a 72.080,19 kWp con relativo collegamento alla rete elettrica, sito in Veglie (LE) al:

Fg. 1 p.lla n. 14-113-134; Fg. 2 p.lla n. 2-3-53-38-39-87-96-97-98-99-100-101-102-103-104-105-106; Fg. 3 p.lla n. 25-453-454-46-462-464-465-47- 478-479-480-481-482- 49; Fg. 4 p.lla n. 18 - 569 -570 - SU in Erchie (BR) al fg. 33 p.lla n. 121-123 - IMPIANTO SPOT40

STATO DI AVANZAMENTO COMMESSA:

PROGETTO DEFINITIVO PER AUTORIZZAZIONE UNICA

PROGETTAZIONE INGEGNERISTICA:

**Heliopolis**

Galleria Passarella, 1 20122 Milano - Italy

tel. +39 02 37905900

via Alto Adige, 160/A 38121 Trento - Italy

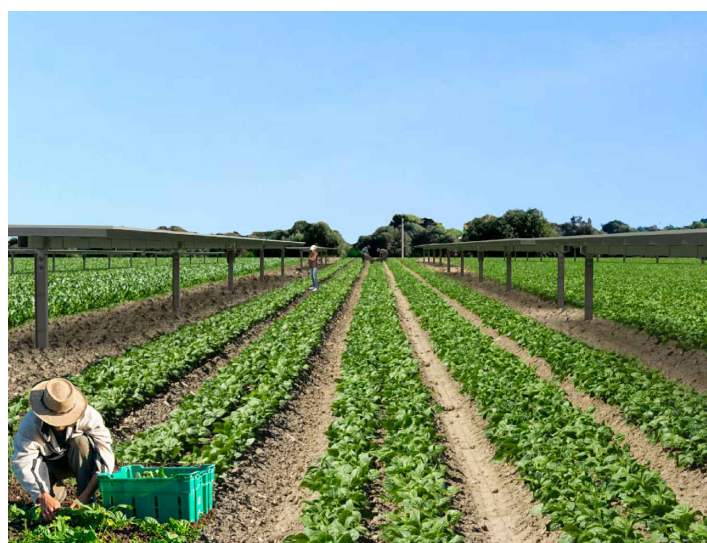
tel. +39 0461 1732700

fax. +39 0461 1732799

www.heliopolis.eu

info@heliopolis.eu

c.fiscale, p.iva e R.I. Milano 08345510963



AMBIENTE

Arato SRL

Dott. Ing. Giada Stella Maria Bolignano

Via Diaz, 74 - 74023 Grottaglie (TA)

info@aratosrl.com



ARCHEOLOGIA

MUSEION SOC. COOP.

Dott. Arch. Paola Iacovazzo

Via del Tratturello Tarantino 6, 74123 Taranto (TA)

museion-archeologia@libero.it

IDRAULICA

Dott. Ing. Michele De Marco

Via Rodi 1/a, 74023 Grottaglie (TA)

demarco.michele@tin.it

GEOLOGIA

Dott. Geol. Rita Amati

Via Girasoli 142, 74122 Taranto - Lama (TA)

r.amati7183@gmail.com

RILIEVI TOPOGRAFICI

GEOPOLIS SRL

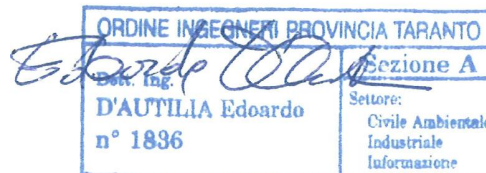
Via F.lli Urbano 32, 72028 Torre Santa Susanna (BR)

ufficiotecnico@studiotecnicogeopolis.it

OGGETTO:

RELAZIONE GEOTECNICA

PROGETTISTA:



Dott. Ing. Edoardo D'Autilia

ACUSTICA

Dott. Ing. Marcello Latanza

Via Costa 25/b, 74027 San Giorgio Jonico (TA)

marcellolatanza@gmail.com

STUDI FAUNISTICI E PEDO-AGRONOMICI

Dott. Agr. Rocco Carella

Via Torre d'Amore n.18, 70129 Ceglie Del Campo (Ba)

roccocarella@yahoo.it

STRUTTURE E GEOTECNICA

Dott. Ing. Edoardo D'Autilia

Via Lago di Viverone 1/5, 74121 Taranto (TA)

ing.edoardodautilia@yahoo.it

SCALA:

-

DATA:

MARZO 2021

NOME FILE:

YAY65S7\_RELAZIONE  
GEOTECNICA.PDF

TAVOLA:

GG.RE.02

N. REV. DATA REVISIONE

0 03.2021 Emissione

ELABORATO

E. D'Autilia

VERIFICATO

responsabile commessa

G. Bolignano

VALIDATO

direttore tecnico

G. Bolignano

## SOMMARIO

1	PREMESSA.....	2
2	INQUADRAMENTO DELL'AREA D'INTERVENTO .....	3
2.1.1	Inquadramento catastale.....	3
3	NORMATIVA DI RIFERIMENTO .....	8
4	INDAGINI E CARATTERIZZAZIONE GEOTECNICA.....	9
4.1	Area di sedime.....	9
4.2	Idrogeologia.....	11
5	MODELLAZIONE GEOTECNICA E PERICOLOSITA' SISMICA DEL SITO.....	12
5.1	Modellazione geotecnica.....	12
5.2	Pericolosità sismica .....	12
6	VERIFICHE DI SICUREZZA .....	14
6.1	Carico limite fondazioni dirette.....	15
6.2	Fattori correttivi al carico limite in presenza di sisma .....	20
7	VERIFICHE GEOTECNICHE .....	24
7.1	Pali fondazione tracker .....	24
7.2	Cabine di trasformazione in campo.....	27
7.3	Cabina di parallelo.....	29
7.4	Locali tecnici .....	32
7.5	Stazione Utente.....	34
7.5.1	Trasformatore AT/MT .....	34
7.5.2	Sostegni unipolari e tripolari.....	37
7.5.3	Sezionatore tripolare orizzontale .....	39
7.5.4	Interruttore tripolare .....	42
7.5.5	Edifici protezione utente .....	44
7.5.6	Impianto di prima pioggia.....	47

Costruzione ed esercizio impianto Agrovoltaiico avente potenza in immissione pari a 66.000 kW e potenza moduli pari a 72.080,19, con relativo collegamento alla rete elettrica, sito in Veglie (LE) al: Fg. 1 part. n. 14-113-134; Fg. 2 part. n. 2-3-53-38-39-87-96-97-98-99-100-101-102-103-104-105-106; Fg. 3 part. n. 25-453-454-46-462-464-465-47-478-479-480-481-482-49; Fg. 4 part. n. 18-569-570  
- IMPIANTO SPOT40



## 1 PREMESSA

La presente relazione geotecnica riguarda le indagini, la caratterizzazione e modellazione geotecnica del “volume significativo” per l'opera in esame e valuta l'interazione opera/terreno ai fini del dimensionamento delle relative fondazioni delle strutture in acciaio e c.a relative alla realizzazione di un impianto agrovoltaiico avente potenza in immissione pari a 66.000 kW e potenza moduli pari a 72.080,19 kWp, sito in agro di Veglie (Lecce), denominato Impianto SPOT 40.

Costruzione ed esercizio impianto Agrovoltaico avente potenza in immissione pari a 66.000 kW e potenza moduli pari a 72.080,19, con relativo collegamento alla rete elettrica, sito in Veglie (LE) al: Fg. 1 part. n. 14-113-134; Fg. 2 part. n. 2-3-53-38-39-87-96-97-98-99-100-101-102-103-104-105-106; Fg. 3 part. n. 25-453-454-46-462-464-465-47-478-479-480-481-482-49; Fg. 4 part. n. 18-569-570 - IMPIANTO SPOT40

## 2 INQUADRAMENTO DELL'AREA D'INTERVENTO

L'area di indagine in esame è ubicata a nord - ovest del centro abitato di Veglie (LE) nei pressi della Masseria Cantalupi, Masseria Nuova e Masseria La Fica lungo la S.P.111 per Veglie.

L'area di studio topograficamente ricade nella Tavolettta IGM Tav. 203 II S.E. "Guagnano" della Carta I.G.M. d'Italia.

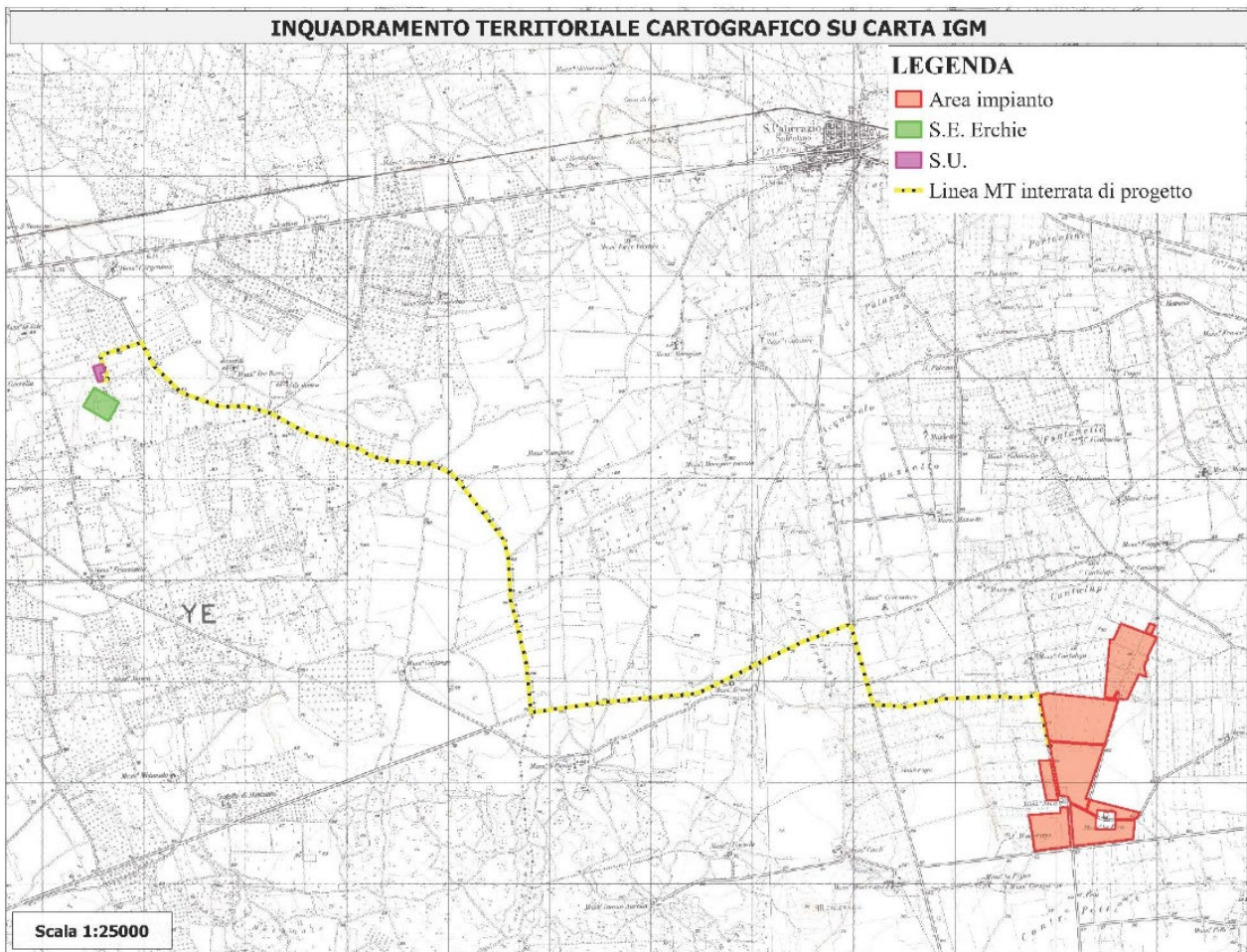


Figura 1: stralcio topografico I.G.M. TAV. 203 II S.E. "GUAGNANO"

Altimetricamente il sito è ubicato alla quota media dicirca 63 m s.l.m su un'area ad andamento sub-pianeggiante lievemente digradante, in linea generale, verso Nord-Est.

### 2.1.1 Inquadramento catastale

L'area destinata all'installazione dell'impianto è censita presso il NCT di Lecce secondo quanto identificato nelle successive tabelle.



Costruzione ed esercizio impianto Agrovoltaiico avente potenza in immissione pari a 66.000 kW e potenza moduli pari a 72.080,19, con relativo collegamento alla rete elettrica, sito in Veglie (LE) al: Fg. 1 part. n. 14-113-134; Fg. 2 part. n. 2-3-53-38-39-87-96-97-98-99-100-101-102-103-104-105-106; Fg. 3 part. n. 25-453-454-46-462-464-465-47-478-479-480-481-482-49; Fg. 4 part. n. 18-569-570 - IMPIANTO SPOT40

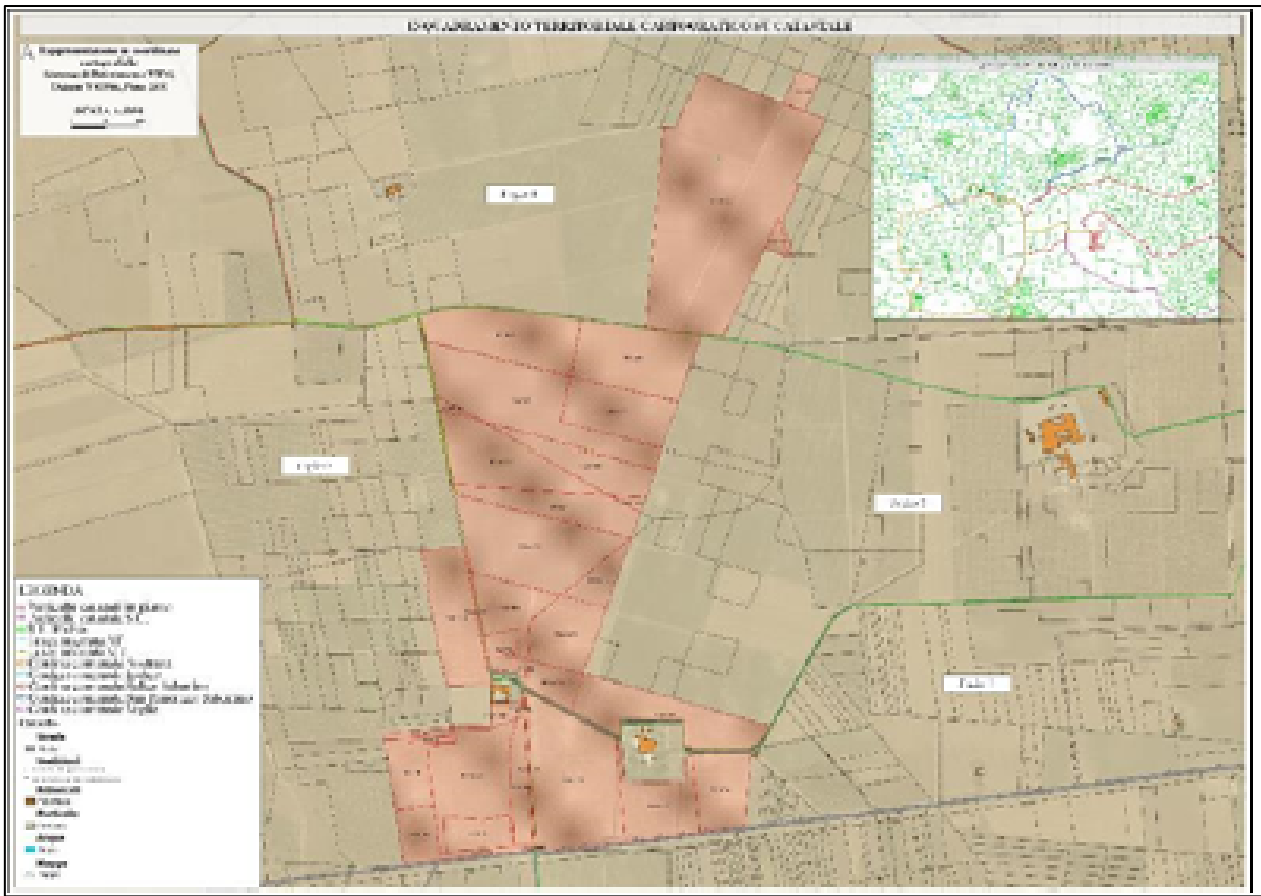


Figura 2: inquadramento catastale

Per le particelle interessate sono stati siglati dei contratti preliminare di acquisto tra il proponente l'iniziativa ed i proprietari, per cui non si rende necessario dare seguito a procedure di esproprio o servitù.

AREA DI IMPIANTO SPOT 40 A							
Comune	Fg.	Part.Illa	Qualità	Estens.	Red. dom.	Red. agrario	Tipo di servitù
Veglie (Le)	1	14	seminativo	251759	780,14	520,09	Cont.prel.diacquisto
Veglie (Le)	1	113	vigneto	3730	19,26	23,12	Cont.prel.diacquisto
Veglie (Le)	1	134	seminativo	6640	20,58	13,72	Cont.prel.diacquisto
Veglie (Le)	2	39	seminativo	3010	9,33	6,22	Cont.prel.diacquisto
Veglie (Le)	2	96	Seminativoirriguo	12000	80,57	52,68	Cont.prel.diacquisto
			seminativo	45881	142,17	94,78	

Costruzione ed esercizio impianto Agrovoltaiico avente potenza in immissione pari a 66.000 kW e potenza moduli pari a 72.080,19, con relativo collegamento alla rete elettrica, sito in Veglie (LE) al: Fg. 1 part. n. 14-113-134; Fg. 2 part. n. 2-3-53-38-39-87-96-97-98-99-100-101-102-103-104-105-106; Fg. 3 part. n. 25-453-454-46-462-464-465-47-478-479-480-481-482-49; Fg. 4 part. n. 18-569-570 - IMPIANTO SPOT40



Veglie (Le)	2	97	seminativo	92224	285,78	190,52	Cont.prel.diacquisto
Veglie (Le)	2	98	Seminativoirriguo	57128	383,55	250,79	Cont.prel.diacquisto
Veglie (Le)	2	99	seminativo	45552	141,15	94,1	Cont.prel.diacquisto
Veglie (Le)	2	109 (ex 38*)	seminativo	29695	92,02	61,34	Cont.prel.diacquisto
Veglie (Le)	2	110 (ex 38*)	seminativo	1805	5,59	3,73	Cont.prel.diacquisto
Veglie (Le)	2	107 (ex 103**)	seminativo	52717	163,36	108,9	Cont.prel.diacquisto
Veglie (Le)	2	108 (ex 103**)	seminativo	35978	111,49	74,32	Cont.prel.diacquisto

Figura 3: particelle area impianto – SPOT 40A

AREA DI IMPIANTO SPOT 40 B							
Comune	Fg.	Part.lla	Qualità	Estens.	Red. dom.	Red. agrario	Tipo di servitù
Veglie (Le)	2	87	seminativo	9351	28,98	19,32	Cont.prel.diacquisto
Veglie (Le)	2	100	seminativo	14189	43,97	29,31	Cont.prel.diacquisto
Veglie (Le)	2	101	seminativo	31231	96,78	64,52	Cont.prel.diacquisto
Veglie (Le)	2	102	seminativo	17990	55,75	37,16	Cont.prel.diacquisto
Veglie (Le)	2	104	seminativo	85669	265,47	176,98	Cont.prel.diacquisto
Veglie (Le)	2	105	seminativo	26367	81,7	54,47	Cont.prel.diacquisto
Veglie (Le)	2	106	seminativo	2010	6,23	4,15	Cont.prel.diacquisto
Veglie (Le)	2	2	Area rurale	340	-	-	Cont.prel.diacquisto
Veglie (Le)	2	3	Area rurale	290	-	-	Cont.prel.diacquisto
Veglie (Le)	2	53	seminativo	45000	139,44	92,96	Cont.prel.diacquisto
Veglie (Le)	2	109 (ex 38*)	seminativo	29695	92,02	61,34	Cont.prel.diacquisto
Veglie (Le)	2	110 (ex 38*)	seminativo	1805	5,59	3,73	Cont.prel.diacquisto
Veglie (Le)	2	107 (ex 103**)	seminativo	52717	163,36	108,9	Cont.prel.diacquisto
Veglie (Le)	2	108 (ex 103**)	seminativo	35978	111,49	74,32	Cont.prel.diacquisto
Veglie (Le)	3	25	seminativo	17 78	76,29	40,39	Cont.prel.diacquisto

Costruzione ed esercizio impianto Agrovoltaiico avente potenza in immissione pari a 66.000 kW e potenza moduli pari a 72.080,19, con relativo collegamento alla rete elettrica, sito in Veglie (LE) al: Fg. 1 part. n. 14-113-134; Fg. 2 part. n. 2-3-53-38-39-87-96-97-98-99-100-101-102-103-104-105-106; Fg. 3 part. n. 25-453-454-46-462-464-465-47-478-479-480-481-482-49; Fg. 4 part. n. 18-569-570 - IMPIANTO SPOT40



Veglie (Le)	3	453	seminativo	45 02	195,36	103,43	Cont.prel.diacquisto
Veglie (Le)	3	454	vigneto	1800	9,3	11,16	Cont.prel.diacquisto
Veglie (Le)	3	46	seminativo	3810	16,73	8,85	Cont.prel.diacquisto
Veglie (Le)	3	462	vigneto	2183	33,82	6,91	Cont.prel.diacquisto
Veglie (Le)	3	464	seminativo	3680	11,4	7,6	Cont.prel.diacquisto
Veglie (Le)	3	465	seminativo	50	0,15	0,1	Cont.prel.diacquisto
Veglie (Le)	3	47	seminativo	2075	9,11	4,82	Cont.prel.diacquisto
Veglie (Le)	3	478	seminativo	22572	99,09	52,46	Cont.prel.diacquisto
Veglie (Le)	3	479	seminativo	60982	267,7	141,73	Cont.prel.diacquisto
Veglie (Le)	3	480	seminativo	5380	23,62	12,5	Cont.prel.diacquisto
Veglie (Le)	3	481	seminativo	18700	82,09	43,46	Cont.prel.diacquisto
Veglie (Le)	3	482	vigneto	86	1,33	0,67	Cont.prel.diacquisto
			seminativo	500	2,19	1,16	
Veglie (Le)	3	49	seminativo	6490	72,39	38,32	Cont.prel.diacquisto
			uliveto	702	1,45	1,45	
Veglie (Le)	4	18	seminativo	38204	167,71	88,79	Cont.prel.diacquisto
			uliveto	130	0,27	0,27	
Veglie (Le)	4	569	seminativo	91909	166,13	166,13	Cont.prel.diacquisto
			uliveto	2141	4,42	4,42	
Veglie (Le)	4	570	seminativo	31050	56,13	56,13	Cont.prel.diacquisto

Figura 4: particelle area impianto – SPOT 40B

\*fg.2 part.lla 38 è stata soppressa originando la part.lla 109 e 110

\*\*fg.2 part.lla 103 è stata soppressa originando la part.lla 107 e 108

L'occupazione dell'area del progetto è riassunta nella tabella che segue:

TABELLA DEFINIZIONE SUPERFICI					
Sup.catastale (mq)	Sup.lotto (mq)	Sup.delimitata dalla recinzione (mq)	Sup. occupata da tracker e cabine (mq)	Ground coverage ratio %	Sup. Utile agricoltura (mq)
1243395	1209774	1141341	200577	19	878252

Figura 1: occupazione superficie nell'ambito del progetto

L'impianto verrà collegato in antenna a 150 kV con il futuro ampliamento della Stazione Elettrica di Trasformazione (SE) della RTN 380/150 kV di "Erchie" (BR), mediante realizzazione di nuova

Costruzione ed esercizio impianto Agrovoltaiico avente potenza in immissione pari a 66.000 kW e potenza moduli pari a 72.080,19, con relativo collegamento alla rete elettrica, sito in Veglie (LE) al: Fg. 1 part. n. 14-113-134; Fg. 2 part. n. 2-3-53-38-39-87-96-97-98-99-100-101-102-103-104-105-106; Fg. 3 part. n. 25-453-454-46-462-464-465-47-478-479-480-481-482-49; Fg. 4 part. n. 18-569-570 - IMPIANTO SPOT40



Stazione Utente di trasformazione 150/30kV che insiste su particelle nella disponibilità del proponente:

AREA SU									
N.	Comune	Fg.	Part	Qualità	ha	are	ca	Renditadominicale	Tipo di servitù
1	Erchie (BR)	33	121	VIGNETO		77	59	122,22 €	nella disponibilità del proponente mediante contratto preliminare di acquisto
2	Erchie (BR)	33	123	SEMINATIVO		39	56	13,28 €	nella disponibilità del proponente mediante contratto preliminare di acquisto

Figura 5: particelle area SU

L'elettrodotto di connessione di tipo interrato avrà una lunghezza complessiva di circa 14 km e si svilupperà su strada pubblica ad eccezione di alcuni tratti nei pressi della SU in cui attraverserà delle proprietà private per i cui dettagli si rimanda all'elaborato YAY65S7\_PianoEsproprio.



### 3 NORMATIVA DI RIFERIMENTO

Le fasi di analisi e verifica della struttura sono state condotte in accordo alle seguenti disposizioni normative, per quanto applicabili in relazione al criterio di calcolo adottato dal progettista, evidenziato nel prosieguo della presente relazione:

**Legge 5 novembre 1971 n. 1086** (G.U. 21 dicembre 1971 n. 321)

*“Norme per la disciplina delle opere di conglomerato cementizio armato, normale e precompresso ed a struttura metallica”.*

**Legge 2 febbraio 1974 n. 64** (G.U. 21 marzo 1974 n. 76)

*“Provvedimenti per le costruzioni con particolari prescrizioni per le zone sismiche”.*

Indicazioni progettive per le nuove costruzioni in zone sismiche a cura del Ministero per la Ricerca scientifica - Roma 1981.

**D. M. Infrastrutture Trasporti 17/01/2018** (G.U. 20/02/2018 n. 42 - Suppl. Ord. n. 8)

*“Aggiornamento delle Norme tecniche per le Costruzioni”.*

Inoltre, in mancanza di specifiche indicazioni, ad integrazione della norma precedente e per quanto con esse non in contrasto, sono state utilizzate le indicazioni contenute nelle seguenti norme:

**Circolare 21 gennaio 2019, n. 7 C.S.LL.PP.** (G.U. Serie Generale n. 35 del 11/02/2019 - Suppl. Ord. n. 5)

Istruzioni per l'applicazione dell'«Aggiornamento delle "Norme tecniche per le costruzioni"» di cui al decreto ministeriale 17 gennaio 2018.

**Eurocodice7** - *“Progettazione geotecnica”* - EN 1997-1 per quanto non in contrasto con le disposizioni del D.M. 2018 *“Norme Tecniche per le Costruzioni”*.

**EN 50341-2-13:2017-08** Linee elettriche aeree con tensione superiore a 1 kV in c.a. - Parte 2-13:

Aspetti Normativi Nazionali (NNA) per l'Italia (basati sulla EN 50341-1:2012)

**EN 50341-1 2013** Linee elettriche aeree con tensione superiore a 1 kV in corrente alternata Parte 1: Prescrizioni generali - Specifiche comuni

**DS 3012** Rev.07 Dicembre 2007 - Pali di acciaio in tronchi innestabili

Verifica di stabilità delle fondazioni dei sostegni monostelo utilizzabili per linee aeree MT/BT.

## 4 INDAGINI E CARATTERIZZAZIONE GEOTECNICA

Sulla base di quanto dettagliato nella relazione geologica dell'area di sito, si è proceduto alla progettazione della campagna di indagini geognostiche finalizzate alla determinazione delle caratteristiche geotecniche dei terreni interessati dal “volume significativo” dell'opera in esame.

Durante l'esecuzione delle prove e dall'elaborazione dei dati non sono emerse problematiche rilevanti alla realizzazione delle opere di fondazione.

### 4.1 Area di sedime

Le proprietà meccaniche dei terreni sono state investigate mediante specifiche prove mirate alla misurazione della velocità delle onde di taglio negli strati del sottosuolo.

Per la completa caratterizzazione del terreno di fondazione si rimanda alla relazione geologica.

Nella descrizione del terreno di fondazione nella succitata relazione redatta dal geologo, dott.ssa Rita Amati, si rileva che nel lotto affiora ovunque una coltre pedologica superficiale di natura limoso sabbiosa dello spessore variabile dai 3,00-4,00 m che passa a sabbie moderatamente addensate o a luoghi direttamente a sabbie concrezionate più diagenizzate individuate fino alla profondità di indagine raggiunta (8 m dal p.c.) si tratta dei litotipi sabbiosi dei Depositi marini terrazzati che in questo sito sembrano poggiare direttamente sui calcari cretacei.

In particolare, è stata calcolata una velocità di propagazione equivalente delle onde di taglio con la seguente relazione (eq. [3.2.1] D.M. 2018):

$$V_{S,eq} = \frac{H}{\sum_{i=1}^N \frac{h_i}{V_{S,i}}}$$

dove:

- $h_i$  è lo spessore dell'i-simo strato;
- $V_{S,i}$  è la velocità delle onde di taglio nell'i-simo strato;
- $N$  è il numero totale di strati investigati;
- $H$  è la profondità del substrato con  $V_S \geq 800$  m/s.

Le proprietà dei terreni sono, quindi, state ricondotte a quelle individuate nella seguente tabella, ponendo  $H = 30$  m nella relazione precedente ed ottenendo il parametro  $V_{S,30}$ .

Categorie di sottosuolo che permettono l'utilizzo dell'approccio semplificato (Tab. 3.2.II D.M. 2018)

Categoria	Caratteristiche della superficie topografica
-----------	--

Costruzione ed esercizio impianto Agrovoltaiico avente potenza in immissione pari a 66.000 kW e potenza moduli pari a 72.080,19, con relativo collegamento alla rete elettrica, sito in Veglie (LE) al: Fg. 1 part. n. 14-113-134; Fg. 2 part. n. 2-3-53-38-39-87-96-97-98-99-100-101-102-103-104-105-106; Fg. 3 part. n. 25-453-454-46-462-464-465-47-478-479-480-481-482-49; Fg. 4 part. n. 18-569-570 - IMPIANTO SPOT40



A	<i>Ammassi rocciosi affioranti o terreni molto rigidi</i> caratterizzati da valori di velocità delle onde di taglio superiori a 800 m/s, eventualmente comprendenti in superficie terreni di caratteristiche meccaniche più scadenti con spessore massimo pari a 3 m.
B	<i>Rocce tenere e depositi di terreni a grana grossa molto addensati o terreni a grana fina molto consistenti</i> , caratterizzati da un miglioramento delle proprietà meccaniche con la profondità e da valori di velocità equivalente compresi tra 360 m/s e 800 m/s.
C	<i>Depositi di terreni a grana grossa mediamente addensati o terreni a grana fina mediamente consistenti</i> con profondità del substrato superiori a 30 m, caratterizzati da un miglioramento delle proprietà meccaniche con la profondità e da valori di velocità equivalente compresi tra 180 m/s e 360 m/s.
D	<i>Depositi di terreni a grana grossa scarsamente addensati o di terreni a grana fina scarsamente consistenti</i> , con profondità del substrato superiori a 30 m, caratterizzati da un miglioramento delle proprietà meccaniche con la profondità e da valori di velocità equivalente compresi tra 100 e 180 m/s.
E	<i>Terreni con caratteristiche e valori di velocità equivalente riconducibili a quelle definite per le categorie C o D</i> , con profondità del substrato non superiore a 30 m.

Le indagini effettuate nel sito di Veglie, mirate alla valutazione della velocità delle onde di taglio ( $V_{S,30}$ ), permettono di classificare il profilo stratigrafico, ai fini della determinazione dell'azione sismica, di categoria **C** [**C - Depositi di terreni a grana grossa mediamente addensati o terreni a grana fina mediamente consistenti**].

Invece le indagini effettuate nel sito Stazione Utente nel Comune di Erchie, mirate alla valutazione della velocità delle onde di taglio ( $V_{S,30}$ ), permettono di classificare il profilo stratigrafico, ai fini della determinazione dell'azione sismica, di categoria **B** [**B - Depositi di terreni a grana grossa molto addensati o terreni a grana fina molto consistenti**].

Le costanti di sottofondo (alla Winkler) del terreno sono state corrette secondo la seguente espressione:

$$K = c \cdot K_1;$$

dove:

$K_1$  = costante di Winkler del terreno riferita alla piastra standard di lato  $b = 30$  cm;

$c$  = coefficiente di correzione, funzione del comportamento del terreno e della particolare geometria degli elementi di fondazione. Nel caso di "Riduzione Automatica" è dato dalle successive espressioni (Rif. Evaluation of coefficients of subgrade reaction K. Terzaghi, 1955 p. 315):

$$c = \left[ \frac{(B + b)}{2 \cdot B} \right]^2 \quad \text{per terreni incoerenti}$$

$$c = \left( \frac{L/B + 0,5}{1,5 \cdot L/B} \right) \cdot \frac{b}{B} \quad \text{per terreni coerenti}$$

Essendo:

Costruzione ed esercizio impianto Agrovoltaiico avente potenza in immissione pari a 66.000 kW e potenza moduli pari a 72.080,19, con relativo collegamento alla rete elettrica, sito in Veglie (LE) al: Fg. 1 part. n. 14-113-134; Fg. 2 part. n. 2-3-53-38-39-87-96-97-98-99-100-101-102-103-104-105-106; Fg. 3 part. n. 25-453-454-46-462-464-465-47-478-479-480-481-482-49; Fg. 4 part. n. 18-569-570  
- IMPIANTO SPOT40



$b = 0,30$  m, dimensione della piastra standard;

$L$  = lato maggiore della fondazione;

$B$  = lato minore della fondazione.

Nel caso di stratigrafia la costante di sottofondo utilizzata nel calcolo delle sollecitazioni è quella del terreno a contatto con la fondazione, mentre nel calcolo dei cedimenti la costante di sottofondo utilizzata è calcolata come media pesata delle costanti di sottofondo presenti nel volume significativo della fondazione.

Tutti i parametri che caratterizzano i terreni di fondazione sono riportati nei “Tabulati di calcolo”, nella relativa sezione. Per ulteriori dettagli si rimanda alle relazioni geologica.

## **4.2 Idrogeologia**

Non è stata riscontrata la presenza di falde acquifere a profondità di interesse relativamente al “volume significativo” investigato.

Costruzione ed esercizio impianto Agrovoltaiico avente potenza in immissione pari a 66.000 kW e potenza moduli pari a 72.080,19, con relativo collegamento alla rete elettrica, sito in Veglie (LE) al: Fg. 1 part. n. 14-113-134; Fg. 2 part. n. 2-3-53-38-39-87-96-97-98-99-100-101-102-103-104-105-106; Fg. 3 part. n. 25-453-454-46-462-464-465-47-478-479-480-481-482-49; Fg. 4 part. n. 18-569-570 - IMPIANTO SPOT40



## 5 MODELLAZIONE GEOTECNICA E PERICOLOSITA' SISMICA DEL SITO

Tutti i parametri che caratterizzano i terreni di fondazione sono riportati nei successivi paragrafi.

### 5.1 Modellazione geotecnica

Ai fini del calcolo strutturale, il terreno sottostante l'opera viene modellato secondo lo schema di Winkler, cioè un sistema costituito da un letto di molle elastiche mutuamente indipendenti. Ciò consente di ricavare le rigidzze offerte dai manufatti di fondazione, siano queste profonde o superficiali, che sono state introdotte direttamente nel modello strutturale per tener conto dell'interazione opera/terreno.

Per la completa caratterizzazione del terreno di fondazione, del modello geologico e delle caratteristiche stratigrafiche si rimanda alla relazione geologica.

### 5.2 Pericolosità sismica

L'azione sismica è stata valutata in conformità alle indicazioni riportate al capitolo 7 del D.M. 2018 per le costruzioni da edificarsi in siti con  $a_g S < 0.075g$ . In particolare si è fatto riferimento alla procedura semplificata indicata come metodo 2 al par. C7 della Circolare n. 617 del 02/02/2019.

In tal caso le sollecitazioni sismiche, per tutti i tipi di costruzione, le classi d'uso e per qualsiasi categoria di sottosuolo del terreno, debbono essere valutate considerando la combinazione di azioni definita nel §2.5.3 D.M. 2018 ed applicando, in due direzioni ortogonali, un sistema di forze orizzontali calcolate con l'espressione [7.3.7], assumendo  $F_h = 0,10 W \lambda$  (con  $\lambda$  definita al §7.3.3.2).

Si riportano di seguito i dati e le coordinate geografiche del sito rispetto al *Datum ED50*:

#### DATI DEL SITO E DELL'OPERA - Veglie (LE)

Dati del sito e dell'opera							
Cl Ed	V <sub>N</sub>	V <sub>R</sub>	Lat.	Long.	Q <sub>g</sub>	CTop	S <sub>T</sub>
	[t]	[t]	[°ssdc]	[°ssdc]	[m]		
1	50	35	40.369167	17.867778	61	T1	1,00

#### LEGENDA:

- Cl Ed** Classedell'edificio
- V<sub>N</sub>** Vita nominale ([t] = anni).
- V<sub>R</sub>** Periodo di riferimento. [t] = anni.
- Lat.** Latitudinegeografica del sito.
- Long.** Longitudinegeografica del sito.
- Q<sub>g</sub>** Altitudinegeografica del sito.
- CTop** Categoriatopografica (Vedi NOTE).



Costruzione ed esercizio impianto Agrovoltaiico avente potenza in immissione pari a 66.000 kW e potenza moduli pari a 72.080,19, con relativo collegamento alla rete elettrica, sito in Veglie (LE) al: Fg. 1 part. n. 14-113-134; Fg. 2 part. n. 2-3-53-38-39-87-96-97-98-99-100-101-102-103-104-105-106; Fg. 3 part. n. 25-453-454-46-462-464-465-47-478-479-480-481-482-49; Fg. 4 part. n. 18-569-570 - IMPIANTO SPOT40



**Dati del sito e dell'opera**

CI Ed	V <sub>N</sub>	V <sub>R</sub>	Lat.	Long.	Q <sub>g</sub>	CTop	S <sub>T</sub>
	[t]	[t]	[°ssdc]	[°ssdc]	[m]		
1	50	35	40.369167	17.867778	61	T1	1,00

**S<sub>T</sub>** Coefficiente di amplificazione topografica.

**NOTE** [-] = Parametro non significativo per il tipo di calcolo effettuato.

Categoria topografica.

T1: Superficie pianeggiante, pendii e rilievi isolati con inclinazione media  $i \leq 15^\circ$ .

T2: Pendii con inclinazione media  $i > 15^\circ$ .

T3: Rilievi con larghezza in cresta molto minore che alla base e inclinazione media  $15^\circ \leq i \leq 30^\circ$ .

T4: Rilievi con larghezza in cresta molto minore che alla base e inclinazione media  $i > 30^\circ$ .

**DATI DEL SITO E DELL'OPERA - Erchie (BR)**

**Dati del sito e dell'opera**

CI Ed	V <sub>N</sub>	V <sub>R</sub>	Lat.	Long.	Q <sub>g</sub>	CTop	S <sub>T</sub>
	[t]	[t]	[°ssdc]	[°ssdc]	[m]		
1	50	35	40.4360900	17.736100	68	T1	1,00

**LEGENDA:**

**CI Ed** Classedell'edificio

**V<sub>N</sub>** Vita nominale ([t] = anni).

**V<sub>R</sub>** Periodo di riferimento. [t] = anni.

**Lat.** Latitudine geografica del sito.

**Long.** Longitudine geografica del sito.

**Q<sub>g</sub>** Altitudine geografica del sito.

**CTop** Categoria topografica (Vedi NOTE).

**S<sub>T</sub>** Coefficiente di amplificazione topografica.

**NOTE** [-] = Parametro non significativo per il tipo di calcolo effettuato.

Categoria topografica.

T1: Superficie pianeggiante, pendii e rilievi isolati con inclinazione media  $i \leq 15^\circ$ .

T2: Pendii con inclinazione media  $i > 15^\circ$ .

T3: Rilievi con larghezza in cresta molto minore che alla base e inclinazione media  $15^\circ \leq i \leq 30^\circ$ .

T4: Rilievi con larghezza in cresta molto minore che alla base e inclinazione media  $i > 30^\circ$ .

## 6 VERIFICHE DI SICUREZZA

Nelle verifiche allo stato limite ultimo deve essere rispettata la condizione:

$$Ed \leq Rd$$

dove:

Ed è il valore di progetto dell'azione o dell'effetto dell'azione;

Rd è il valore di progetto della resistenza del sistema geotecnico.

Le verifiche strutturali e geotecniche delle fondazioni, sono state effettuate con l'Approccio 2 come definito al §2.6.1 del D.M. 2018, attraverso la combinazione A1+M1+R3. Le azioni sono state amplificate tramite i coefficienti della colonna A1 (STR) definiti nella tabella 6.2.I del D.M. 2018.

**Tabella 6.2.I - Coefficienti parziali per le azioni o per l'effetto delle azioni** [cfr. D.M. 2018]

CARICHI	EFFETTO	Coefficiente parziale $\gamma_F$ (o $\gamma_E$ )	A1 (STR)	A2 (GEO)
Carichi permanenti $G_1$	Favorevole	$\gamma_{G1}$	1,00	1,00
	Sfavorevole		1,30	1,00
Carichi permanenti $G_2^{(1)}$	Favorevole	$\gamma_{G2}$	0,80	0,80
	Sfavorevole		1,50	1,30
Azioni variabili Q	Favorevole	$\gamma_{Qi}$	0,00	0,00
	Sfavorevole		1,50	1,30

<sup>(1)</sup> Per i carichi permanenti  $G_2$  si applica quanto indicato alla Tabella 2.6.I. Per la spinta delle terre si fa riferimento ai coefficienti  $\gamma_{G1}$

I valori di resistenza del terreno sono stati ridotti tramite i coefficienti della colonna M1 definiti nella tabella 6.2.II del D.M. 2018.

**Tabella 6.2.II - Coefficienti parziali per i parametri geotecnici del terreno** [cfr. D.M. 2018]

PARAMETRO GEOTECNICO	Grandezza alla quale applicare il coefficiente parziale	Coefficiente parziale $\gamma_M$	M1	M2
Tangente dell'angolo di resistenza a taglio	$\tan \phi_k$	$\gamma_{\phi'}$	1,00	1,25
Coesione efficace	$c'_k$	$\gamma_{c'}$	1,00	1,25
Resistenza non drenata	$c_{uk}$	$\gamma_{cu}$	1,00	1,40
Peso dell'unità di volume	$\gamma_r$	$\gamma_r$	1,00	1,00

I valori calcolati delle resistenze totali dell'elemento strutturale sono stati divisi per i coefficienti R3 della tabella 6.4.I del D.M. 2018 per le fondazioni superficiali.

Costruzione ed esercizio impianto Agrovoltaiico avente potenza in immissione pari a 66.000 kW e potenza moduli pari a 72.080,19, con relativo collegamento alla rete elettrica, sito in Veglie (LE) al: Fg. 1 part. n. 14-113-134; Fg. 2 part. n. 2-3-53-38-39-87-96-97-98-99-100-101-102-103-104-105-106; Fg. 3 part. n. 25-453-454-46-462-464-465-47-478-479-480-481-482-49; Fg. 4 part. n. 18-569-570 - IMPIANTO SPOT40



**Tabella 6.4.I - Coefficienti parziali  $\gamma_R$  per le verifiche agli stati limite ultimi di fondazioni superficiali.**

Verifica	Coefficiente Parziale (R3)
Caricolimite	$\gamma_R = 2,3$
Scorrimento	$\gamma_R = 1,1$

Per le varie tipologie di fondazioni sono di seguito elencate le metodologie ed i modelli usati per il calcolo del carico limite ed i risultati di tale calcolo.

### 6.1 Carico limite fondazioni dirette

La formula del carico limite esprime l'equilibrio fra il carico applicato alla fondazione e la resistenza limite del terreno. Il carico limite è dato dalla seguente espressione:

$$q_{lim} = c \cdot N_c \cdot s_c \cdot d_c \cdot i_c \cdot g_c \cdot b_c \cdot \Psi_c + q \cdot N_q \cdot s_q \cdot d_q \cdot i_q \cdot g_q \cdot b_q \cdot \Psi_q + \frac{B'}{2} \cdot \gamma_f \cdot N_\gamma \cdot s_\gamma \cdot d_\gamma \cdot i_\gamma \cdot g_\gamma \cdot b_\gamma \cdot \Psi_\gamma \cdot r_\gamma$$

in cui:

$c$  = coesione del terreno al disotto del piano di posa della fondazione;

$q = \gamma \cdot D$  = pressione geostatica in corrispondenza del piano di posa della fondazione;

$\gamma$  = peso unità di volume del terreno al di sopra del piano di posa della fondazione;

$D$  = profondità del piano di posa della fondazione;

$B'$  = larghezza ridotta della suola di fondazione (vedi NB);

$L$  = lunghezza della fondazione;

$\gamma_f$  = peso unità di volume del terreno al disotto del piano di posa della fondazione;

$N_c, N_q, N_\gamma$  = fattori di capacità portante;

$s, d, i, g, b, \Psi, r$  = coefficienti correttivi.

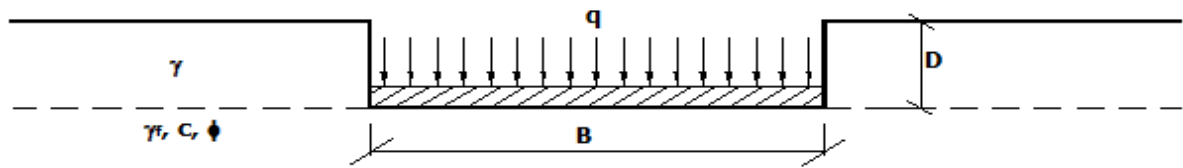
NB: Se la risultante dei carichi verticali è eccentrica,  $B$  e  $L$  saranno ridotte rispettivamente di:

$$B' = B - 2 \cdot e_B \quad e_B = \text{eccentricità parallela al lato di dimensione } B;$$

$$L' = L - 2 \cdot e_L \quad e_L = \text{eccentricità parallela al lato di dimensione } L;$$

con  $B' \leq L'$ .

dove:



Calcolo dei fattori  $N_c$ ,  $N_q$ ,  $N_\gamma$

Terreni puramente coesivi ( $c \neq 0, \phi = 0$ )	Terreni dotati di attrito e coesione ( $c \neq 0, \phi \neq 0$ )
$N_c = 2 + \pi$	$N_c = (N_q - 1) \cdot \cot \phi$
$N_q = 1$	$N_q = K_p \cdot e^{\pi \cdot \tan \phi}$
$N_\gamma = 0$ se $\omega = 0$ $N_\gamma = -2 \cdot \sin \omega$ se $\omega \neq 0$	$N_\gamma = 2 \cdot (N_q + 1) \cdot \tan \phi$

dove:

$k_p = \tan^2 \left( 45 + \frac{\phi}{2} \right)$  è il coefficiente di spinta passiva di Rankine;

$\phi$  = angolo di attrito del terreno al disotto del piano di posa della fondazione;

$\omega$  = angolo di inclinazione del piano campagna.

Calcolo dei fattori di forma  $s_c$ ,  $s_q$ ,  $s_\gamma$

Terreni puramente coesivi ( $c \neq 0, \phi = 0$ )	Terreni dotati di attrito e coesione ( $c \neq 0, \phi \neq 0$ )
$s_c = 1 + \frac{B'}{(2 + \pi) \cdot L'}$	$s_c = 1 + \frac{N_q}{N_c} \cdot \frac{B'}{L'}$
$s_q = 1$	$s_q = 1 + \frac{B'}{L'} \cdot \tan \phi$
$s_\gamma = 1 - 0.40 \cdot \frac{B'}{L'}$	$s_\gamma = 1 - 0.40 \cdot \frac{B'}{L'}$

con  $B'/L' < 1$ .

Calcolo dei fattori di profondità del piano di posa  $d_c$ ,  $d_q$ ,  $d_\gamma$

Si definisce il seguente parametro:

$$K = \frac{D}{B'} \quad \text{se} \quad \frac{D}{B'} \leq 1;$$

$$K = \arctg\left(\frac{D}{B'}\right) \quad \text{se} \quad \frac{D}{B'} > 1.$$

Terreni puramente coesivi ( $c \neq 0, \phi = 0$ )	Terreni dotati di attrito e coesione ( $c \neq 0, \phi \neq 0$ )
$d_c = 1 + 0,4 \cdot K$	$d_c = d_q - \frac{1 - d_q}{N_c \cdot \tan \phi}$
$d_q = 1$	$d_q = 1 + 2 \cdot \tan \phi \cdot (1 - \sin \phi)^2 \cdot K$
$d_\gamma = 1$	$d_\gamma = 1$

Calcolo dei fattori di inclinazione del carico  $i_c, i_q, i_\gamma$

Si definisce il seguente parametro:

$$m = m_B = \frac{2 + B/L}{1 + B/L} \quad \text{se la forza H è parallela alla direzione trasversale della fondazione}$$

$$m = m_L = \frac{2 + L/B}{1 + L/B} \quad \text{se la forza H è parallela alla direzione longitudinale della fondazione}$$

$$m = m_\theta = m_L \cdot \cos^2 \theta + m_B \cdot \sin^2 \theta \quad \text{se la forza H forma un angolo } \theta \text{ con la direzione longitudinale della fondazione}$$

Terreni coesivi ( $c \neq 0, \phi = 0$ )	Terreni incoerenti ( $c = 0, \phi \neq 0$ )	Terreni dotati di attrito e coesione ( $c \neq 0, \phi \neq 0$ )
$i_c = 1 - \frac{m \cdot H}{c \cdot N_c \cdot B \cdot L}$	$i_c = 0$	$i_c = i_q - \frac{1 - i_q}{N_c \cdot \tan \phi}$
$i_q = 1$	$i_q = \left(1 - \frac{H}{V}\right)^m$	$i_q = \left(1 - \frac{H}{V + B \cdot L \cdot c \cdot \cot \phi}\right)^m$
$i_\gamma = 0$	$i_\gamma = \left(1 - \frac{H}{V}\right)^{m+1}$	$i_\gamma = \left(1 - \frac{H}{V + B \cdot L \cdot c \cdot \cot \phi}\right)^{m+1}$

dove:

H = componente orizzontale dei carichi agente sul piano di posa della fondazione;



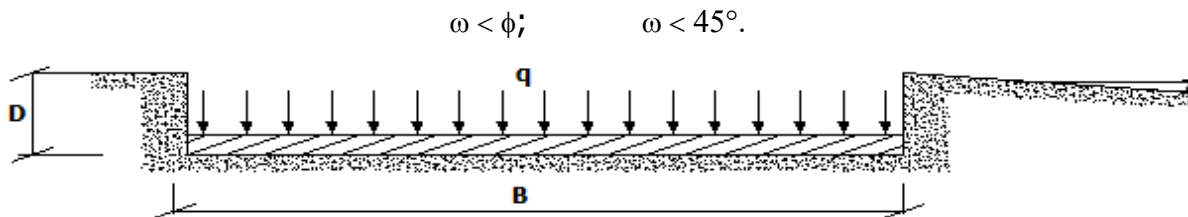
$V$  = componente verticale dei carichi agente sul piano di posa della fondazione.

Calcolo dei fattori di inclinazione del piano di campagna  $b_c$ ,  $b_q$ ,  $b_\gamma$

Indicando con  $\omega$  la pendenza del piano campagna, si ha:

Terreni puramente coesivi ( $c \neq 0, \phi = 0$ )	Terreni dotati di attrito e coesione ( $c \neq 0, \phi \neq 0$ )
$b_c = 1 - \frac{2 \cdot \omega}{(2 + \pi)}$	$b_c = b_q - \frac{1 - b_q}{N_c \cdot \tan \phi}$
$b_q = (1 - \tan \omega)^2 \cdot \cos \omega$	$b_q = (1 - \tan \omega)^2 \cdot \cos \omega$
$b_\gamma = b_q / \cos \omega$	$b_\gamma = b_q / \cos \omega$

Per poter applicare tali coefficienti correttivi deve essere verificata la seguente condizione:



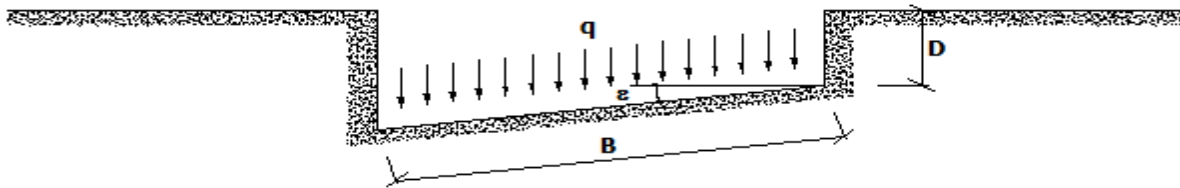
Calcolo dei fattori di inclinazione del piano di posa  $g_c$ ,  $g_q$ ,  $g_\gamma$

Indicando con  $\varepsilon$  la pendenza del piano di posa della fondazione, si ha:

Terreni puramente coesivi ( $c \neq 0, \phi = 0$ )	Terreni dotati di attrito e coesione ( $c \neq 0, \phi \neq 0$ )
$g_c = 1 - \frac{2 \cdot \varepsilon}{(2 + \pi)}$	$g_c = g_q - \frac{1 - g_q}{N_c \cdot \tan \phi}$
$g_q = 1$	$g_q = (1 - \varepsilon \cdot \tan \phi)^2$
$g_\gamma = 1$	$g_\gamma = g_q$

Per poter applicare tali coefficienti correttivi deve essere verificata la seguente condizione:

$$\varepsilon < 45^\circ$$



Calcolo dei fattori di riduzione per rottura a punzonamento  $\psi_c, \psi_q, \psi_\gamma$

Si definisce l'indice di rigidità del terreno come:

$$I_r = \frac{G}{c + \sigma \cdot \tan \phi}$$

dove:

$$G = \frac{E}{2 \cdot (1 + \nu)}$$

= modulo d'elasticità tangenziale del terreno;

E= modulo elastico del terreno (nei calcoli è utilizzato il modulo edometrico);

$\nu$  = modulo di Poisson. Sia in condizioni non drenate che drenate è assunto pari a 0,5 (a vantaggio di sicurezza);

$\sigma$  = tensione litostatica alla profondità  $D+B/2$ .

La rottura a punzonamento si verifica quando i coefficienti di punzonamento  $\psi_c, \psi_q, \psi_\gamma$  sono inferiori all'unità; ciò accade quando l'indice di rigidità  $I_r$  si mantiene inferiore al valore critico:

$$I_r < I_{r,crit} = \frac{1}{2} \cdot e^{\left[ \left( 3,3 - 0,45 \frac{B}{L} \right) \cot \left( 45 - \frac{\phi}{2} \right) \right]}$$

Terreni puramente coesivi ( $c \neq 0, \phi = 0$ )	Terreni dotati di attrito e coesione ( $c \neq 0, \phi \neq 0$ )
$\psi_c = 0,32 + 0,12 \cdot \frac{B'}{L'} + 0,6 \cdot \text{Log}(I_r)$	$\psi_c = \psi_q - \frac{1 - \psi_q}{N_c \cdot \tan \phi}$
$\psi_q = 1$	$\psi_q = e^{\left\{ \left( 0,6 \frac{B'}{L'} - 4,4 \right) \tan \phi + \frac{3,07 \cdot \sin \phi \cdot \text{Log}(2 \cdot I_r)}{1 + \sin \phi} \right\}}$
$\psi_\gamma = 1$	$\psi_\gamma = \psi_q$

Correzione per fondazione tipo piastra

Bowles, al fine di limitare il contributo del termine “ $B \cdot N_\gamma$ ”, che per valori elevati di B porterebbe ad ottenere valori del carico limite prossimi a quelli di una fondazione profonda, propone il seguente fattore di riduzione  $r_\gamma$ :

$$r_\gamma = 1 - 0,25 \cdot \text{Log}(B/2) \quad \text{con } B \geq 2 \text{ m}$$

Nella tabella sottostante sono riportati una serie di valori del coefficiente  $r_\gamma$  al variare della larghezza dell'elemento di fondazione.

B [m]	2	2.5	3	3.5	4	5	10	20	100
$r_\gamma$	1,00	0,97	0,95	0,93	0,92	0,90	0,82	0,75	0,57

Questo coefficiente assume particolare importanza per fondazioni larghe con rapporto D/B basso, caso nel quale il termine “ $B \cdot N_\gamma$ ” è predominante.

Calcolo del carico limite in condizioni non drenate

L'espressione generale del carico limite, valutato in termini di tensioni totale, diventa:

$$q_{lim} = c_u \cdot (2 + \pi) \cdot s_c \cdot d_c \cdot i_c \cdot g_c \cdot b_c + q + \frac{B'}{2} \cdot \gamma_{sat} \cdot B' \cdot N_\gamma \cdot s_\gamma \cdot r_\gamma$$

dove:

$c_u$  = coesione non drenata;

$\gamma_{sat}$  = peso unità di volume del terreno in condizioni di saturazione.

N.B: Nel calcolo in condizioni non drenate (situazione molto rara per un terreno incoerente) si assume, sempre e comunque, che l'angolo di attrito  $\phi$  sia nullo ( $\phi = 0$ ).

## 6.2 Fattori correttivi al carico limite in presenza di sisma

L'azione del sisma si traduce in accelerazioni nel sottosuolo (effetto cinematico) e nella fondazione, per l'azione delle forze d'inerzia generate nella struttura in elevazione (effetto inerziale).

Nell'analisi pseudo-statica, modellando l'azione sismica attraverso la sola componente orizzontale, tali effetti possono essere portati in conto mediante l'introduzione di coefficienti sismici rispettivamente denominati  $K_{hi}$  e  $K_{hk}$ , il primo definito dal rapporto tra le componenti orizzontale e verticale dei carichi trasmessi in fondazione ed il secondo funzione dell'accelerazione massima attesa al sito.

La formula generale del carico limite si modifica nel seguente modo:

$$q_{lim} = c \cdot N_c \cdot s_c \cdot d_c \cdot i_c \cdot g_c \cdot b_c \cdot \Psi_c \cdot z_c + q \cdot N_q \cdot s_q \cdot d_q \cdot i_q \cdot g_q \cdot b_q \cdot \Psi_q \cdot z_q + \frac{B'}{2} \cdot \gamma_f \cdot N_\gamma \cdot s_\gamma \cdot d_\gamma \cdot i_\gamma \cdot g_\gamma \cdot b_\gamma \cdot \Psi_\gamma \cdot r_\gamma \cdot z_\gamma \cdot c_\gamma$$

in cui, oltre ai termini già precedentemente indicati, si sono introdotti i seguenti termini:

$z_c, z_q, z_\gamma$  = coefficienti correttivi dovuti all'effetto inerziale;

$c_\gamma$  = coefficiente correttivo dovuto all'effetto cinematico.

Calcolo del fattore correttivo dovuto all'effetto cinematico  $c_\gamma$

L'effetto cinematico modifica il solo coefficiente  $N_\gamma$  in funzione del coefficiente sismico  $K_{hk}$  che è pari a:

$$K_{hk} = \beta_s \cdot S_S \cdot S_T \cdot a_g / g;$$

dove:

$\beta_s$  = coefficiente di riduzione dell'accelerazione massima attesa al sito;

$g$  = accelerazione di gravità;

$S_S$  = coefficiente di amplificazione stratigrafica;

$S_T$  = coefficiente di amplificazione topografica;

$a_g$  = accelerazione orizzontale massima attesa su sito di riferimento rigido.

I valori di  $\beta_s$  sono riportati nella seguente tabella:

	CATEGORIA DI SOTTOSUOLO	
	A	B,C,D,E
	$\beta_s$	$\beta_s$
$0,2 < a_g(g) \leq 0,4$	0,30	0,28
$0,1 < a_g(g) \leq 0,2$	0,27	0,24
$a_g(g) \leq 0,1$	0,20	0,20

Il fattore correttivo dovuto all'effetto cinematico  $c_\gamma$  è stato, pertanto, determinato con la seguente relazione:

Terreni puramente coesivi ( $c \neq 0, \phi = 0$ )	Terreni dotati di attrito e coesione ( $c \neq 0, \phi \neq 0$ )
$c_\gamma = 1$	$c_\gamma = \left(1 - \frac{K_{hk}}{\tan \phi}\right)^{0.45}$ se $\frac{K_{hk}}{\tan \phi} < 1$ , altrimenti $c_\gamma = 0$

Calcolo dei fattori correttivi dovuti all'effetto inerziale  $z_c, z_q, z_\gamma$

L'effetto inerziale produce variazioni di tutti i coefficienti di capacità portante del carico limite in funzione del coefficiente sismico  $K_{hi}$ .

Tali effetti correttivi vengono valutati con la teoria di Paolucci - Pecker attraverso le seguenti relazioni:

Terreni puramente coesivi ( $c \neq 0, \phi = 0$ )	Terreni dotati di attrito e coesione ( $c \neq 0, \phi \neq 0$ )	
$Z_c = Z_q = Z_\gamma = 1$	$Z_c = 1 - 0,32 \cdot K_{hi}$ se $z_c > 0$	altrimenti $z_c = 0$
	$z_\gamma = z_q = \left(1 - \frac{K_{hi}}{\tan \phi}\right)^{0,35}$ se $\frac{K_{hi}}{\tan \phi} < 1$	altrimenti $z_\gamma = z_q = 0$

dove:

$K_{hi}$  è ricavato dallo spettro di progetto allo SLV attraverso la relazione:

$$K_{hi} = S_S \cdot S_T \cdot a_g / g;$$

i cui termini sono stati precedentemente precisati.

Si fa notare che il coefficiente sismico  $K_{hi}$  coincide con l'ordinata dello spettro di progetto allo SLU per  $T = 0$  ed è indipendente dalle combinazioni di carico.

Verifiche nei confronti degli stati limite ultimi (SLU)

Di seguito si riporta una tabella riepilogativa relativa alla verifica dello stato limite di collasso per carico limite dell'insieme fondazione-terreno.

Si precisa che il valore relativo alla colonna  $Q_d, R_d$ , di cui nella tabella seguente, è da intendersi come il valore di progetto della resistenza  $R_d$ , ossia il rapporto fra il carico limite  $q_{lim}$  (calcolato come sopra esposto) ed il valore del coefficiente parziale di sicurezza  $\gamma_R$  relativo alla capacità portante del complesso terreno-fondazione, in relazione all'approccio utilizzato. Nel caso in esame il coefficiente parziale di sicurezza  $\gamma_R$  è stato assunto pari a 2,3 (tabella 6.4.I del D.M. 2018).

Si precisa che, nella sottostante tabella:

- la coppia  $Q_{Ed}$  e  $Q_d, R_d$  è relativa alla combinazione di carico, fra tutte quelle esaminate, che da luogo al minimo coefficiente di sicurezza (CS);
- nelle colonne "per  $N_q$ , per  $N_c$  e per  $N_\gamma$ ", relative ai "Coef. Cor. Terzaghi", viene riportato il prodotto tra i vari coefficienti correttivi presenti nell'espressione generale del carico limite. Ad esempio si è posto:



Costruzione ed esercizio impianto Agrovoltaiico avente potenza in immissione pari a 66.000 kW e potenza moduli pari a 72.080,19, con relativo collegamento alla rete elettrica, sito in Veglie (LE) al: Fg. 1 part. n. 14-113-134; Fg. 2 part. n. 2-3-53-38-39-87-96-97-98-99-100-101-102-103-104-105-106; Fg. 3 part. n. 25-453-454-46-462-464-465-47-478-479-480-481-482-49; Fg. 4 part. n. 18-569-570 - IMPIANTO SPOT40



$$\text{Coef. Cor. Terzaghi per } N_q = s_q \cdot d_q \cdot i_q \cdot g_q \cdot b_q \cdot \psi_q \cdot Z_q$$

$$\text{Coef. Cor. Terzaghi per } N_c = s_c \cdot d_c \cdot i_c \cdot g_c \cdot b_c \cdot \psi_c \cdot Z_c$$

$$\text{Coef. Cor. Terzaghi per } N_\gamma = s_\gamma \cdot d_\gamma \cdot i_\gamma \cdot g_\gamma \cdot b_\gamma \cdot \psi_\gamma \cdot r_\gamma \cdot Z_\gamma \cdot C_\gamma$$

## 7 VERIFICHE GEOTECNICHE

Le verifiche geotecniche si riferiscono ai volumi di terreno sui quali insistono le strutture di progetto, già descritte nell'elaborato "Relazione di calcolo preliminare delle strutture" e precisamente:

### Lotto Veglie

- Struttura portante dei moduli fotovoltaici, ad inseguimento monoassiale- Tracker
- Basamenti delle cabine di trasformazione in campo
- Basamenti delle cabine di parallelo
- Locali tecnici

Si riportano inoltre i risultati delle verifiche geotecniche effettuate per quanto alle strutture ricomprese nella stazione elettrica di utenza (SU) collocata nel Comune di Erchie (BR).

### Stazione Utente (SU)

- Basamento trasformatore AT/MT
- Basamento sostegni unipolari e tripolari
- Basamenti sezionatore tripolare orizzontale
- Basamenti interruttore tripolare
- Basamento edifici protezione utente
- Basamento vasca di raccolta acqua di prima pioggia

### 7.1 Pali fondazione tracker

Le strutture sono ubicate in modo sparso su tutta l'area di impianto.

Ai fini delle verifiche geotecniche, si prendono in esame le strutture ricadenti all'interno dell'area, considerando il modello geotecnico più sfavorevole.



Figura 6: Tracker monofila

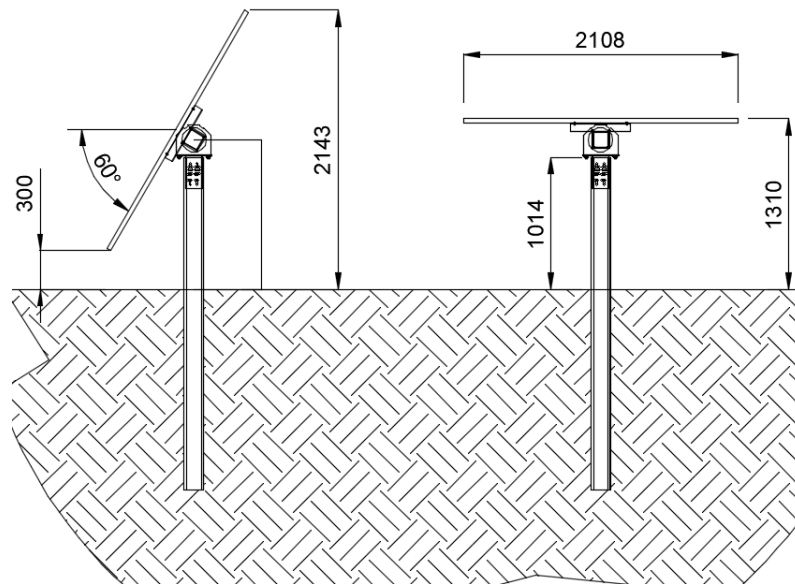


Figura 7: sezione della struttura

Di seguito, i valori delle sollecitazioni più gravose derivanti dal calcolo della struttura di elevazione.

I valori di  $F_z$  si riferiscono alla forza di estrazione del sostegno (pull-out) dovuta alle azioni dei venti

La combinazione di carico più sfavorevole considerata nella verifica e quella che esercita un'azione di sollevamento sul singolo montante pari a:

$$F_z = 875,60 \text{ daN}$$

L'azione di sfilamento a trazione viene contrastata dalla resistenza laterale per attrito nell'intorno del montante.

Rispetto alle dimensioni, il palo viene classificato di *piccolo diametro* ( $d < 25\text{cm}$ )

Rispetto alle tecnologie esecutive il palo viene classificato come *infisso*

Nel caso di montante in profilato di acciaio, infisso nel terreno per battitura, la tensione laterale vale:

$$s = a + \mu * \sigma h$$

dove:

- a = adesione - termine di tipo coesivo, che in condizioni drenate viene assunto pari a 0
- $\mu$  = coeff attrito palo-terreno, che per pali infissi in acciaio e pari a  $\mu = \text{tg}\Phi$  (cfr Viggiani, Fondazioni)
- $\sigma_h$  = tensione orizzontale =  $k \cdot \sigma_v$ , con  $\sigma_v$  che corrisponde alla tensione litostatica verticale alla generica profonditaz, mentre k, per pali infissi in banchi sabbiosi addensati vale 0,9 (cfr Viggiani, Fondazioni) pertanto in prima approssimazione si puo ricavare la relazione

$$s = 0,9 \cdot \text{tg}\Phi \cdot \sigma_v$$

La resistenza laterale nasce dall'integrazione delle tensioni orizzontali tra la profondita 0 ed H

$$S = \pi \cdot d \cdot 0,9 \cdot \text{tg}\Phi \cdot \int (\gamma \cdot z) dz$$

ossia

$$S = \pi \cdot d \cdot 0,9 \cdot \text{tg}\Phi \cdot \gamma \cdot H^2 / 2$$

funzione della sola variabile H.

La profondita di infissione viene pertanto determinata ponendo la condizione che

$$S/T > 1.5$$

dove T e l'azione di sfilamento precedentemente calcolata.

### Dati di progetto

Insert "profondità infissione" H=2,00 m

insert diametro palo "d" d= 0,20 m

Insert "peso volume"  $\gamma=1800$  daN/mc

Insert "coesione" c =0,02 daN/cm<sup>q</sup>

Insert "angolo di resistenza a taglio"  $\phi=26^\circ$

### Verifiche di calcolo

Azione massima sopportabile  $F_{\text{tmax}}= 1481,40$ daN

Azione di esercizio  $F_z=875,60$  daN

Fattore di sicurezza  $F_s= 1,69$  (OK)

Si raccomanda ad ogni modo per questi tipi di strutture una attenta valutazione delle prestazioni attese confrontandole massime sollecitazioni di sfilamento teoriche con quelle determinate da prove di estrazione in situ mediante esecuzione di campagna di pull out test.

Costruzione ed esercizio impianto Agrovoltaiico avente potenza in immissione pari a 66.000 kW e potenza moduli pari a 72.080,19, con relativo collegamento alla rete elettrica, sito in Veglie (LE) al: Fg. 1 part. n. 14-113-134; Fg. 2 part. n. 2-3-53-38-39-87-96-97-98-99-100-101-102-103-104-105-106; Fg. 3 part. n. 25-453-454-46-462-464-465-47-478-479-480-481-482-49; Fg. 4 part. n. 18-569-570 - IMPIANTO SPOT40



## 7.2 Cabine di trasformazione in campo

Verifiche nei confronti degli stati limite ultimi (SLU)

Di seguito si riporta una tabella riepilogativa relativa alla verifica dello stato limite di collasso per carico limite dell'insieme fondazione-terreno.

Si precisa che il valore relativo alla colonna  $Q_d, R_d$ , di cui nella tabella seguente, è da intendersi come il valore di progetto della resistenza  $R_d$ , ossia il rapporto fra il carico limite  $q_{lim}$  (calcolato come sopra esposto) ed il valore del coefficiente parziale di sicurezza  $\gamma_R$  relativo alla capacità portante del complesso terreno-fondazione, in relazione all'approccio utilizzato. Nel caso in esame il coefficiente parziale di sicurezza  $\gamma_R$  è stato assunto pari a 2,3 (tabella 6.4.I del D.M. 2018).

Si precisa che, nella sottostante tabella:

- la coppia  $Q_{Ed}$  e  $Q_d, R_d$  è relativa alla combinazione di carico, fra tutte quelle esaminate, che da luogo al minimo coefficiente di sicurezza (CS);
- nelle colonne “per  $N_q$ , per  $N_c$  e per  $N_\gamma$ ”, relative ai “Coef. Cor. Terzaghi”, viene riportato il prodotto tra i vari coefficienti correttivi presenti nell'espressione generale del carico limite. Ad esempio si è posto:

$$\text{Coef. Cor. Terzaghi per } N_q = s_q \cdot d_q \cdot i_q \cdot g_q \cdot b_q \cdot \psi_q \cdot Z_q$$

$$\text{Coef. Cor. Terzaghi per } N_c = s_c \cdot d_c \cdot i_c \cdot g_c \cdot b_c \cdot \psi_c \cdot Z_c$$

$$\text{Coef. Cor. Terzaghi per } N_\gamma = s_\gamma \cdot d_\gamma \cdot i_\gamma \cdot g_\gamma \cdot b_\gamma \cdot \psi_\gamma \cdot r_\gamma \cdot Z_\gamma \cdot C_\gamma$$

### VERIFICHE CARICO LIMITE FONDAZIONI DIRETTE ALLO SLU

Verifiche Carico Limite fondazioni dirette allo SLU

Id <sub>Fnd</sub>	CS	L <sub>x</sub>	L <sub>y</sub>	R <sub>tz</sub>	Z <sub>P.cmp</sub>	Z <sub>Fld</sub>	Cmp T	C. Terzaghi						Q <sub>Ed</sub>	Q <sub>Rd</sub>	R <sub>f</sub>
								per N <sub>q</sub>	per N <sub>c</sub>	per N <sub>γ</sub>	N <sub>q</sub>	N <sub>c</sub>	N <sub>γ</sub>			
		[m]	[m]	[°]	[m]	[m]							[N/mm <sup>2</sup> ]	[N/mm <sup>2</sup> ]		
Platea 1	22,10	12,5500	2,6200	180,00	1,00	-	NON Coesivo	1,41	0,00	0,73	18,40	30,14	22,40	0,012	0,268	N O

#### LEGENDA:

**Id<sub>Fnd</sub>** Descrizione dell'oggetto di fondazione al quale è riferita la verifica.

**CS** Coefficiente di sicurezza ([NS] = Non Significativo se CS ≥ 100; [VNR]= Verifica Non Richiesta; Informazioni aggiuntive

Costruzione ed esercizio impianto Agrovoltaiico avente potenza in immissione pari a 66.000 kW e potenza moduli pari a 72.080,19, con relativo collegamento alla rete elettrica, sito in Veglie (LE) al: Fg. 1 part. n. 14-113-134; Fg. 2 part. n. 2-3-53-38-39-87-96-97-98-99-100-101-102-103-104-105-106; Fg. 3 part. n. 25-453-454-46-462-464-465-47-478-479-480-481-482-49; Fg. 4 part. n. 18-569-570 - IMPIANTO SPOT40



### Verifiche Carico Limite fondazioni dirette allo SLU

Id <sub>Fnd</sub>	CS	L <sub>x</sub>	L <sub>y</sub>	R <sub>tz</sub>	Z <sub>P.cmp</sub>	Z <sub>Fid</sub>	Cmp T	C. Terzaghi						Q <sub>Ed</sub>	Q <sub>Rd</sub>	R <sub>f</sub>
								per N <sub>q</sub>	per N <sub>c</sub>	per N <sub>γ</sub>	N <sub>q</sub>	N <sub>c</sub>	N <sub>γ</sub>			
		[m]	[m]	[°]	[m]	[m]							[N/mm <sup>2</sup> ]	[N/mm <sup>2</sup> ]		

sulla condizione: [V] = statica; [E] = eccezionale; [S] = sismica; [N] = sismica non lineare).

**L<sub>x/y</sub>** Dimensionidell'elemento di fondazione.

**R<sub>tz</sub>** Angolo compreso tra l'asse X e il lato più lungo del minimo rettangolo che delimita il poligono della platea.

**Z<sub>P.cmp</sub>** Profondità di posa dell'elemento di fondazione dal piano campagna.

**Z<sub>Fid</sub>** Profondità della falda dal piano campagna.

**Cmp T** Classificazione del comportamento del terreno ai fini del calcolo.

**C.** Coefficienti correttivi per la formula di Terzaghi.

**Terzaghi**

**Q<sub>Ed</sub>** Carico di progetto sul terreno.

**Q<sub>Rd</sub>** Resistenza di progetto del terreno.

**R<sub>f</sub>** [SI] = elemento con presenza di rinforzo; [NO] = elemento senza rinforzo.

## VERIFICHE CARICO LIMITE FONDAZIONI DIRETTE ALLO SLD

### Verifiche Carico Limite fondazioni dirette allo SLD

Id <sub>Fnd</sub>	CS	L <sub>x</sub>	L <sub>y</sub>	R <sub>tz</sub>	Z <sub>P.cmp</sub>	Z <sub>Fid</sub>	Cmp T	C. Terzaghi						Q <sub>Ed</sub>	Q <sub>Rd</sub>	R <sub>f</sub>
								per N <sub>q</sub>	per N <sub>c</sub>	per N <sub>γ</sub>	N <sub>q</sub>	N <sub>c</sub>	N <sub>γ</sub>			
		[m]	[m]	[°]	[m]	[m]							[N/mm <sup>2</sup> ]	[N/mm <sup>2</sup> ]		
Platea 1	38,0 2	12,55	2,62	180, 00	1,00	-	NON Coesivo	1,34	0,00	0,68	18,4 0	30,1 4	22,4 0	0,008	0,320	N O

### LEGENDA:

**Id<sub>Fnd</sub>** Descrizione dell'oggetto di fondazione al quale è riferita la verifica.

**CS** Coefficiente di sicurezza ([NS] = Non Significativo se CS ≥ 100; [VNR]= Verifica Non Richiesta; Informazioni aggiuntive sulla condizione: [V] = statica; [E] = eccezionale; [S] = sismica; [N] = sismica non lineare).

**L<sub>x/y</sub>** Dimensionidell'elemento di fondazione.

**R<sub>tz</sub>** Angolo compreso tra l'asse X e il lato più lungo del minimo rettangolo che delimita il poligono della platea.

**Z<sub>P.cmp</sub>** Profondità di posa dell'elemento di fondazione dal piano campagna.

Costruzione ed esercizio impianto Agrovoltaiico avente potenza in immissione pari a 66.000 kW e potenza moduli pari a 72.080,19, con relativo collegamento alla rete elettrica, sito in Veglie (LE) al: Fg. 1 part. n. 14-113-134; Fg. 2 part. n. 2-3-53-38-39-87-96-97-98-99-100-101-102-103-104-105-106; Fg. 3 part. n. 25-453-454-46-462-464-465-47-478-479-480-481-482-49; Fg. 4 part. n. 18-569-570 - IMPIANTO SPOT40



#### Verifiche Carico Limite fondazioni dirette allo SLD

Id <sub>Fnd</sub>	CS	L <sub>x</sub>	L <sub>y</sub>	R <sub>tz</sub>	Z <sub>P.cmp</sub>	Z <sub>Fid</sub>	Cmp T	C. Terzaghi						Q <sub>Ed</sub>	Q <sub>Rd</sub>	R <sub>f</sub>
								per N <sub>q</sub>	per N <sub>c</sub>	per N <sub>γ</sub>	N <sub>q</sub>	N <sub>c</sub>	N <sub>γ</sub>			
		[m]	[m]	[°]	[m]	[m]							[N/mm <sup>2</sup> ]	[N/mm <sup>2</sup> ]		

**Z<sub>Fid</sub>** Profondità della falda dal piano campagna.

**Cmp T** Classificazione del comportamento del terreno ai fini del calcolo.

**C.** Coefficienti correttivi per la formula di Terzaghi.

**Terzaghi**

**Q<sub>Ed</sub>** Carico di progetto sul terreno.

**Q<sub>Rd</sub>** Resistenza di progetto del terreno.

**R<sub>f</sub>** [SI] = elemento con presenza di rinforzo; [NO] = elemento senza rinforzo.

Le verifiche risultano soddisfatte, essendo rispettate i presupposti di capacità portante, dati dal confronto tra la pressione verticale trasmessa dalle fondazioni e la pressione limite per il terreno; la verifica allo scorrimento globale nella direzione parallela al piano di posa della platea di fondazione; le condizioni di idoneo esercizio, determinate dal calcolo dei valori del cedimento massimo atteso, contenuto entro i limiti imposti, come in precedenza descritto.

Considerato il campo di variabilità dimensionale previsto per il manufatto, al variare della configurazione, e considerato che le condizioni di carico assunte sono le più gravose possibili, l'ordine di grandezza delle tensioni esercitate sul terreno può ritenersi rappresentativo e cautelativo per tutti i casi analizzati per mezzo della struttura di riferimento.

Gli esiti sono tali che il progetto risulta valido ed applicabile, con le specificazioni appositamente contenute nella Relazione geologica.

### 7.3 Cabina di parallelo

Verifiche nei confronti degli stati limite ultimi (SLU)

Di seguito si riporta una tabella riepilogativa relativa alla verifica dello stato limite di collasso per carico limite dell'insieme fondazione-terreno.

Si precisa che il valore relativo alla colonna Q<sub>d</sub>,R<sub>d</sub>, di cui nella tabella seguente, è da intendersi come il valore di progetto della resistenza R<sub>d</sub>, ossia il rapporto fra il carico limite q<sub>lim</sub> (calcolato come sopra esposto) ed il valore del coefficiente parziale di sicurezza γ<sub>R</sub> relativo alla capacità

portante del complesso terreno-fondazione, in relazione all'approccio utilizzato. Nel caso in esame il coefficiente parziale di sicurezza  $\gamma_R$  è stato assunto pari a 2,3 (tabella 6.4.I del D.M. 2018).

Si precisa che, nella sottostante tabella:

- la coppia  $Q_{Ed}$  e  $Q_{d,Rd}$  è relativa alla combinazione di carico, fra tutte quelle esaminate, che da luogo al minimo coefficiente di sicurezza (CS);
- nelle colonne “per  $N_q$ , per  $N_c$  e per  $N_\gamma$ ”, relative ai “Coef. Cor. Terzaghi”, viene riportato il prodotto tra i vari coefficienti correttivi presenti nell'espressione generale del carico limite. Ad esempio si è posto:

$$\text{Coef. Cor. Terzaghi per } N_q = s_q \cdot d_q \cdot i_q \cdot g_q \cdot b_q \cdot \psi_q \cdot Z_q$$

$$\text{Coef. Cor. Terzaghi per } N_c = s_c \cdot d_c \cdot i_c \cdot g_c \cdot b_c \cdot \psi_c \cdot Z_c$$

$$\text{Coef. Cor. Terzaghi per } N_\gamma = s_\gamma \cdot d_\gamma \cdot i_\gamma \cdot g_\gamma \cdot b_\gamma \cdot \psi_\gamma \cdot r_\gamma \cdot Z_\gamma \cdot C_\gamma$$

## VERIFICHE CARICO LIMITE FONDAZIONI DIRETTE ALLO SLU

### Verifiche Carico Limite fondazioni dirette allo SLU

Id <sub>Fnd</sub>	CS	L <sub>x</sub>	L <sub>y</sub>	R <sub>tz</sub>	Z <sub>p.cmp</sub>	Z <sub>Fld</sub>	Cmp T	C. Terzaghi						Q <sub>Ed</sub>	Q <sub>Rd</sub>	R <sub>f</sub>
								per N <sub>q</sub>	per N <sub>c</sub>	per N <sub>γ</sub>	N <sub>q</sub>	N <sub>c</sub>	N <sub>γ</sub>			
		[m]	[m]	[°]	[m]	[m]								[N/mm <sup>2</sup> ]	[N/mm <sup>2</sup> ]	
Platea 2	4,34	14,40	2,50	180,00	0,50	-	NON Coesivo	1,41	0,00	0,73	18,40	30,14	22,40	0,064	0,278	NO

### LEGENDA:

- Id<sub>Fnd</sub>** Descrizione dell'oggetto di fondazione al quale è riferita la verifica.
- CS** Coefficiente di sicurezza ([NS] = Non Significativo se CS ≥ 100; [VNR]= Verifica Non Richiesta; Informazioni aggiuntive sulla condizione: [V] = statica; [E] = eccezionale; [S] = sismica; [N] = sismica non lineare).
- L<sub>x/y</sub>** Dimensionidell'elemento di fondazione.
- R<sub>tz</sub>** Angolo compreso tra l'asse X e il lato più lungo del minimo rettangolo che delimita il poligono della platea.
- Z<sub>p.cmp</sub>** Profondità di posa dell'elemento di fondazione dal piano campagna.
- Z<sub>Fld</sub>** Profondità della falda dal piano campagna.
- Cmp T** Classificazione del comportamento del terreno ai fini del calcolo.
- C. Terzaghi** Coefficienti correttivi per la formula di Terzaghi.
- Q<sub>Ed</sub>** Carico di progetto sul terreno.



Costruzione ed esercizio impianto Agrovoltaiico avente potenza in immissione pari a 66.000 kW e potenza moduli pari a 72.080,19, con relativo collegamento alla rete elettrica, sito in Veglie (LE) al: Fg. 1 part. n. 14-113-134; Fg. 2 part. n. 2-3-53-38-39-87-96-97-98-99-100-101-102-103-104-105-106; Fg. 3 part. n. 25-453-454-46-462-464-465-47-478-479-480-481-482-49; Fg. 4 part. n. 18-569-570 - IMPIANTO SPOT40



#### Verifiche Carico Limite fondazioni dirette allo SLU

Id <sub>Fnd</sub>	CS	L <sub>x</sub>	L <sub>y</sub>	R <sub>tz</sub>	Z <sub>P.cmp</sub>	Z <sub>Fid</sub>	Cmp T	C. Terzaghi						Q <sub>Ed</sub>	Q <sub>Rd</sub>	R <sub>f</sub>
								per N <sub>q</sub>	per N <sub>c</sub>	per N <sub>γ</sub>	N <sub>q</sub>	N <sub>c</sub>	N <sub>γ</sub>			
		[m]	[m]	[°]	[m]	[m]							[N/mm <sup>2</sup> ]	[N/mm <sup>2</sup> ]		

**Q<sub>Rd</sub>** Resistenza di progetto del terreno.

**R<sub>f</sub>** [SI] = elemento con presenza di rinforzo; [NO] = elemento senza rinforzo.

### VERIFICHE CARICO LIMITE FONDAZIONI DIRETTE ALLO SLD

#### Verifiche Carico Limite fondazioni dirette allo SLD

Id <sub>Fnd</sub>	CS	L <sub>x</sub>	L <sub>y</sub>	R <sub>tz</sub>	Z <sub>P.cmp</sub>	Z <sub>Fid</sub>	Cmp T	C. Terzaghi						Q <sub>Ed</sub>	Q <sub>Rd</sub>	R <sub>f</sub>
								per N <sub>q</sub>	per N <sub>c</sub>	per N <sub>γ</sub>	N <sub>q</sub>	N <sub>c</sub>	N <sub>γ</sub>			
		[m]	[m]	[°]	[m]	[m]							[N/mm <sup>2</sup> ]	[N/mm <sup>2</sup> ]		
Platea 2	7,40	14,40	2,50	180,00	0,50	-	NON Coesivo	1,34	0,00	0,68	18,40	30,14	22,40	0,046	0,340	NO

#### LEGENDA:

**Id<sub>Fnd</sub>** Descrizione dell'oggetto di fondazione al quale è riferita la verifica.

**CS** Coefficiente di sicurezza ([NS] = Non Significativo se  $CS \geq 100$ ; [VNR]= Verifica Non Richiesta; Informazioni aggiuntive sulla condizione: [V] = statica; [E] = eccezionale; [S] = sismica; [N] = sismica non lineare).

**L<sub>x/y</sub>** Dimensionidell'elemento di fondazione.

**R<sub>tz</sub>** Angolo compreso tra l'asse X e il lato più lungo del minimo rettangolo che delimita il poligono della platea.

**Z<sub>P.cmp</sub>** Profondità di posa dell'elemento di fondazione dal piano campagna.

**Z<sub>Fid</sub>** Profondità della falda dal piano campagna.

**Cmp T** Classificazione del comportamento del terreno ai fini del calcolo.

**C.** Coefficienti correttivi per la formula di Terzaghi.

**Terzaghi**

**Q<sub>Ed</sub>** Carico di progetto sul terreno.

**Q<sub>Rd</sub>** Resistenza di progetto del terreno.

**R<sub>f</sub>** [SI] = elemento con presenza di rinforzo; [NO] = elemento senza rinforzo.

Le verifiche risultano soddisfatte, essendo rispettate i presupposti di capacità portante, dati dal confronto tra la pressione verticale trasmessa dalle fondazioni e la pressione limite per il terreno; la verifica allo scorrimento globale nella direzione parallela al piano di posa della platea di

fondazione; le condizioni di idoneo esercizio, determinate dal calcolo dei valori del cedimento massimo atteso, contenuto entro i limiti imposti, come in precedenza descritto.

Considerato il campo di variabilità dimensionale previsto per il manufatto, al variare della configurazione, e considerato che le condizioni di carico assunte sono le più gravose possibili, l'ordine di grandezza delle tensioni esercitate sul terreno può ritenersi rappresentativo e cautelativo per tutti i casi analizzati per mezzo della struttura di riferimento.

Gli esiti sono tali che il progetto risulta valido ed applicabile, con le specificazioni appositamente contenute nella Relazione geologica.

## 7.4 Locali tecnici

Verifiche nei confronti degli stati limite ultimi (SLU)

Di seguito si riporta una tabella riepilogativa relativa alla verifica dello stato limite di collasso per carico limite dell'insieme fondazione-terreno.

Si precisa che il valore relativo alla colonna  $Q_d, R_d$ , di cui nella tabella seguente, è da intendersi come il valore di progetto della resistenza  $R_d$ , ossia il rapporto fra il carico limite  $q_{lim}$  (calcolato come sopra esposto) ed il valore del coefficiente parziale di sicurezza  $\gamma_R$  relativo alla capacità portante del complesso terreno-fondazione, in relazione all'approccio utilizzato. Nel caso in esame il coefficiente parziale di sicurezza  $\gamma_R$  è stato assunto pari a 2,3 (tabella 6.4.I del D.M. 2018).

Si precisa che, nella sottostante tabella:

- la coppia  $Q_{Ed}$  e  $Q_d, R_d$  è relativa alla combinazione di carico, fra tutte quelle esaminate, che da luogo al minimo coefficiente di sicurezza (CS);
- nelle colonne “per  $N_q$ , per  $N_c$  e per  $N_\gamma$ ”, relative ai “Coef. Cor. Terzaghi”, viene riportato il prodotto tra i vari coefficienti correttivi presenti nell'espressione generale del carico limite. Ad esempio si è posto:

$$\text{Coef. Cor. Terzaghi per } N_q = s_q \cdot d_q \cdot i_q \cdot g_q \cdot b_q \cdot \psi_q \cdot Z_q$$

$$\text{Coef. Cor. Terzaghi per } N_c = s_c \cdot d_c \cdot i_c \cdot g_c \cdot b_c \cdot \psi_c \cdot Z_c$$

$$\text{Coef. Cor. Terzaghi per } N_\gamma = s_\gamma \cdot d_\gamma \cdot i_\gamma \cdot g_\gamma \cdot b_\gamma \cdot \psi_\gamma \cdot r_\gamma \cdot Z_\gamma \cdot C_\gamma$$

### VERIFICHE CARICO LIMITE FONDAZIONI DIRETTE ALLO SLU

#### Verifiche Carico Limite fondazioni dirette allo SLU

Id <sub>Fnd</sub>	CS	L <sub>x</sub>	L <sub>y</sub>	R <sub>tz</sub>	Z <sub>p.cmp</sub>	Z <sub>Fld</sub>	Cmp T	C. Terzaghi	Q <sub>Ed</sub>	Q <sub>Rd</sub>	R <sub>f</sub>
-------------------	----	----------------	----------------	-----------------	--------------------	------------------	-------	-------------	-----------------	-----------------	----------------

Costruzione ed esercizio impianto Agrovoltaiico avente potenza in immissione pari a 66.000 kW e potenza moduli pari a 72.080,19, con relativo collegamento alla rete elettrica, sito in Veglie (LE) al: Fg. 1 part. n. 14-113-134; Fg. 2 part. n. 2-3-53-38-39-87-96-97-98-99-100-101-102-103-104-105-106; Fg. 3 part. n. 25-453-454-46-462-464-465-47-478-479-480-481-482-49; Fg. 4 part. n. 18-569-570 - IMPIANTO SPOT40



								per N <sub>q</sub>	per N <sub>c</sub>	per N <sub>γ</sub>	N <sub>q</sub>	N <sub>c</sub>	N <sub>γ</sub>			
		[m]	[m]	[°]	[m]	[m]								[N/mm <sup>2</sup> ]	[N/mm <sup>2</sup> ]	
Platea 3	5,82	12,20	2,45	180,00	0,30	-	NON Coesivo	1,39	0,00	0,72	18,38	30,11	22,28	0,052	0,254	NO

### LEGENDA:

- Id<sub>Fnd</sub>** Descrizione dell'oggetto di fondazione al quale è riferita la verifica.
- CS** Coefficiente di sicurezza ([NS] = Non Significativo se CS ≥ 100; [VNR]= Verifica Non Richiesta; Informazioni aggiuntive sulla condizione: [V] = statica; [E] = eccezionale; [S] = sismica; [N] = sismica non lineare).
- L<sub>x/y</sub>** Dimensionidell'elemento di fondazione.
- Rtz** Angolo compreso tra l'asse X e il lato più lungo del minimo rettangolo che delimita il poligono della platea.
- Z<sub>P.cmp</sub>** Profondità di posa dell'elemento di fondazione dal piano campagna.
- Z<sub>Fld</sub>** Profondità della falda dal piano campagna.
- Cmp T** Classificazione del comportamento del terreno ai fini del calcolo.
- C.** Coefficienti correttivi per la formula di Terzaghi.
- Terzaghi**
- Q<sub>Ed</sub>** Carico di progetto sul terreno.
- Q<sub>Rd</sub>** Resistenza di progetto del terreno.
- R<sub>f</sub>** [SI] = elemento con presenza di rinforzo; [NO] = elemento senza rinforzo.

## VERIFICHE CARICO LIMITE FONDAZIONI DIRETTE ALLO SLD

### Verifiche Carico Limite fondazioni dirette allo SLD

Id <sub>Fnd</sub>	CS	L <sub>x</sub>	L <sub>y</sub>	Rtz	Z <sub>P.cmp</sub>	Z <sub>Fld</sub>	Cmp T	C. Terzaghi						Q <sub>Ed</sub>	Q <sub>Rd</sub>	R <sub>f</sub>
								per N <sub>q</sub>	per N <sub>c</sub>	per N <sub>γ</sub>	N <sub>q</sub>	N <sub>c</sub>	N <sub>γ</sub>			
		[m]	[m]	[°]	[m]	[m]								[N/mm <sup>2</sup> ]	[N/mm <sup>2</sup> ]	
Platea 3	6,50	12,20	2,45	180,00	0,30	-	NON Coesivo	1,33	0,00	0,67	18,20	30,12	21,90	0,044	0,332	NO

### LEGENDA:

- Id<sub>Fnd</sub>** Descrizione dell'oggetto di fondazione al quale è riferita la verifica.
- CS** Coefficiente di sicurezza ([NS] = Non Significativo se CS ≥ 100; [VNR]= Verifica Non Richiesta; Informazioni aggiuntive sulla condizione: [V] = statica; [E] = eccezionale; [S] = sismica; [N] = sismica non lineare).
- L<sub>x/y</sub>** Dimensionidell'elemento di fondazione.

Costruzione ed esercizio impianto Agrovoltaiico avente potenza in immissione pari a 66.000 kW e potenza moduli pari a 72.080,19, con relativo collegamento alla rete elettrica, sito in Veglie (LE) al: Fg. 1 part. n. 14-113-134; Fg. 2 part. n. 2-3-53-38-39-87-96-97-98-99-100-101-102-103-104-105-106; Fg. 3 part. n. 25-453-454-46-462-464-465-47-478-479-480-481-482-49; Fg. 4 part. n. 18-569-570 - IMPIANTO SPOT40



### Verifiche Carico Limite fondazioni dirette allo SLD

Id <sub>Fnd</sub>	CS	L <sub>x</sub>	L <sub>y</sub>	R <sub>tz</sub>	Z <sub>p.cmp</sub>	Z <sub>Fid</sub>	Cmp T	C. Terzaghi						Q <sub>Ed</sub>	Q <sub>Rd</sub>	R <sub>f</sub>
								per N <sub>q</sub>	per N <sub>c</sub>	per N <sub>γ</sub>	N <sub>q</sub>	N <sub>c</sub>	N <sub>γ</sub>			
		[m]	[m]	[°]	[m]	[m]							[N/mm <sup>2</sup> ]	[N/mm <sup>2</sup> ]		

**R<sub>tz</sub>** Angolo compreso tra l'asse X e il lato più lungo del minimo rettangolo che delimita il poligono della platea.

**Z<sub>p.cmp</sub>** Profondità di posa dell'elemento di fondazione dal piano campagna.

**Z<sub>Fid</sub>** Profondità della falda dal piano campagna.

**Cmp T** Classificazione del comportamento del terreno ai fini del calcolo.

**C.** Coefficienti correttivi per la formula di Terzaghi.

**Terzaghi**

**Q<sub>Ed</sub>** Carico di progetto sul terreno.

**Q<sub>Rd</sub>** Resistenza di progetto del terreno.

**R<sub>f</sub>** [SI] = elemento con presenza di rinforzo; [NO] = elemento senza rinforzo.

Le verifiche risultano soddisfatte, essendo rispettate i presupposti di capacità portante, dati dal confronto tra la pressione verticale trasmessa dalle fondazioni e la pressione limite per il terreno; la verifica allo scorrimento globale nella direzione parallela al piano di posa della platea di fondazione; le condizioni di idoneo esercizio, determinate dal calcolo dei valori del cedimento massimo atteso, contenuto entro i limiti imposti, come in precedenza descritto.

Considerato il campo di variabilità dimensionale previsto per il manufatto, al variare della configurazione, e considerato che le condizioni di carico assunte sono le più gravose possibili, l'ordine di grandezza delle tensioni esercitate sul terreno può ritenersi rappresentativo e cautelativo per tutti i casi analizzati per mezzo della struttura di riferimento.

Gli esiti sono tali che il progetto risulta valido ed applicabile, con le specificazioni appositamente contenute nella Relazione geologica.

## 7.5 Stazione Utente

### 7.5.1 Trasformatore AT/MT

Verifiche nei confronti degli stati limite ultimi (SLU)

Di seguito si riporta una tabella riepilogativa relativa alla verifica dello stato limite di collasso per carico limite dell'insieme fondazione-terreno.

Si precisa che il valore relativo alla colonna Q<sub>d</sub>,R<sub>d</sub>, di cui nella tabella seguente, è da intendersi come il valore di progetto della resistenza R<sub>d</sub>, ossia il rapporto fra il carico limite q<sub>lim</sub> (calcolato

come sopra esposto) ed il valore del coefficiente parziale di sicurezza  $\gamma_R$  relativo alla capacità portante del complesso terreno-fondazione, in relazione all'approccio utilizzato. Nel caso in esame il coefficiente parziale di sicurezza  $\gamma_R$  è stato assunto pari a 2,3 (tabella 6.4.I del D.M. 2018).

Si precisa che, nella sottostante tabella:

- la coppia  $Q_{Ed}$  e  $Q_{d,Rd}$  è relativa alla combinazione di carico, fra tutte quelle esaminate, che da luogo al minimo coefficiente di sicurezza (CS);
- nelle colonne “per  $N_q$ , per  $N_c$  e per  $N_\gamma$ ”, relative ai “Coef. Cor. Terzaghi”, viene riportato il prodotto tra i vari coefficienti correttivi presenti nell'espressione generale del carico limite. Ad esempio si è posto:

$$\text{Coef. Cor. Terzaghi per } N_q = s_q \cdot d_q \cdot i_q \cdot g_q \cdot b_q \cdot \psi_q \cdot Z_q$$

$$\text{Coef. Cor. Terzaghi per } N_c = s_c \cdot d_c \cdot i_c \cdot g_c \cdot b_c \cdot \psi_c \cdot Z_c$$

$$\text{Coef. Cor. Terzaghi per } N_\gamma = s_\gamma \cdot d_\gamma \cdot i_\gamma \cdot g_\gamma \cdot b_\gamma \cdot \psi_\gamma \cdot r_\gamma \cdot Z_\gamma \cdot C_\gamma$$

## VERIFICHE CARICO LIMITE FONDAZIONI DIRETTE ALLO SLU

### Verifiche Carico Limite fondazioni dirette allo SLU

Id <sub>Fnd</sub>	CS	L <sub>x</sub>	L <sub>y</sub>	R <sub>tz</sub>	Z <sub>p.cmp</sub>	Z <sub>Fld</sub>	Cmp T	C. Terzaghi						Q <sub>Ed</sub>	Q <sub>Rd</sub>	R <sub>f</sub>
								per N <sub>q</sub>	per N <sub>c</sub>	per N <sub>γ</sub>	N <sub>q</sub>	N <sub>c</sub>	N <sub>γ</sub>			
		[m]	[m]	[°]	[m]	[m]								[N/mm <sup>2</sup> ]	[N/mm <sup>2</sup> ]	
Piastra 1	5,57	9,20	6,00	180,00	1,60	-	NON Coesivo	1,27	0,00	0,78	16,42	28,70	25,32	0,04	0,223	NO

### LEGENDA:

**Id<sub>Fnd</sub>** Descrizione dell'oggetto di fondazione al quale è riferita la verifica.

**CS** Coefficiente di sicurezza ([NS] = Non Significativo se CS ≥ 100; [VNR]= Verifica Non Richiesta; Informazioni aggiuntive sulla condizione: [V] = statica; [E] = eccezionale; [S] = sismica; [N] = sismica non lineare).

**L<sub>x/y</sub>** Dimensione dell'elemento di fondazione.

**R<sub>tz</sub>** Angolo compreso tra l'asse X e il lato più lungo del minimo rettangolo che delimita il poligono della platea.

**Z<sub>p.cmp</sub>** Profondità di posa dell'elemento di fondazione dal piano campagna.

**Z<sub>Fld</sub>** Profondità della falda dal piano campagna.

**Cmp T** Classificazione del comportamento del terreno ai fini del calcolo.

**C.** Coefficienti correttivi per la formula di Terzaghi.

**Terzaghi**

Costruzione ed esercizio impianto Agrovoltaiico avente potenza in immissione pari a 66.000 kW e potenza moduli pari a 72.080,19, con relativo collegamento alla rete elettrica, sito in Veglie (LE) al: Fg. 1 part. n. 14-113-134; Fg. 2 part. n. 2-3-53-38-39-87-96-97-98-99-100-101-102-103-104-105-106; Fg. 3 part. n. 25-453-454-46-462-464-465-47-478-479-480-481-482-49; Fg. 4 part. n. 18-569-570 - IMPIANTO SPOT40



### Verifiche Carico Limite fondazioni dirette allo SLU

Id <sub>Fnd</sub>	CS	L <sub>x</sub>	L <sub>y</sub>	R <sub>tz</sub>	Z <sub>p.cmp</sub>	Z <sub>fnd</sub>	Cmp T	C. Terzaghi						Q <sub>Ed</sub>	Q <sub>Rd</sub>	R <sub>f</sub>
								per N <sub>q</sub>	per N <sub>c</sub>	per N <sub>γ</sub>	N <sub>q</sub>	N <sub>c</sub>	N <sub>γ</sub>			
		[m]	[m]	[°]	[m]	[m]							[N/mm <sup>2</sup> ]	[N/mm <sup>2</sup> ]		

**Q<sub>Ed</sub>** Carico di progetto sul terreno.

**Q<sub>Rd</sub>** Resistenza di progetto del terreno.

**R<sub>f</sub>** [SI] = elemento con presenza di rinforzo; [NO] = elemento senza rinforzo.

### VERIFICHE CARICO LIMITE FONDAZIONI DIRETTE ALLO SLD

#### Verifiche Carico Limite fondazioni dirette allo SLD

Id <sub>Fnd</sub>	CS	L <sub>x</sub>	L <sub>y</sub>	R <sub>tz</sub>	Z <sub>p.cmp</sub>	Z <sub>fnd</sub>	Cmp T	C. Terzaghi						Q <sub>Ed</sub>	Q <sub>Rd</sub>	R <sub>f</sub>
								per N <sub>q</sub>	per N <sub>c</sub>	per N <sub>γ</sub>	N <sub>q</sub>	N <sub>c</sub>	N <sub>γ</sub>			
		[m]	[m]	[°]	[m]	[m]							[N/mm <sup>2</sup> ]	[N/mm <sup>2</sup> ]		
Piastra 1	8,21	12,20	2,45	180,00	0,30	-	NON Coesivo	1,22	0,00	0,53	18,20	30,12	21,90	0,038	0,312	NO

#### LEGENDA:

**Id<sub>Fnd</sub>** Descrizione dell'oggetto di fondazione al quale è riferita la verifica.

**CS** Coefficiente di sicurezza ([NS] = Non Significativo se CS ≥ 100; [VNR]= Verifica Non Richiesta; Informazioni aggiuntive sulla condizione: [V] = statica; [E] = eccezionale; [S] = sismica; [N] = sismica non lineare).

**L<sub>x/y</sub>** Dimensionidell'elemento di fondazione.

**R<sub>tz</sub>** Angolo compreso tra l'asse X e il lato più lungo del minimo rettangolo che delimita il poligono della platea.

**Z<sub>p.cmp</sub>** Profondità di posa dell'elemento di fondazione dal piano campagna.

**Z<sub>fnd</sub>** Profondità della falda dal piano campagna.

**Cmp T** Classificazione del comportamento del terreno ai fini del calcolo.

**C.** Coefficienti correttivi per la formula di Terzaghi.

**Terzaghi**

**Q<sub>Ed</sub>** Carico di progetto sul terreno.

**Q<sub>Rd</sub>** Resistenza di progetto del terreno.

**R<sub>f</sub>** [SI] = elemento con presenza di rinforzo; [NO] = elemento senza rinforzo.

Le verifiche risultano soddisfatte, essendo rispettate i presupposti di capacità portante, dati dal confronto tra la pressione verticale trasmessa dalle fondazioni e la pressione limite per il terreno;

la verifica allo scorrimento globale nella direzione parallela al piano di posa della platea di fondazione; le condizioni di idoneo esercizio, determinate dal calcolo dei valori del cedimento massimo atteso, contenuto entro i limiti imposti, come in precedenza descritto.

Considerato il campo di variabilità dimensionale previsto per il manufatto, al variare della configurazione, e considerato che le condizioni di carico assunte sono le più gravose possibili, l'ordine di grandezza delle tensioni esercitate sul terreno può ritenersi rappresentativo e cautelativo per tutti i casi analizzati per mezzo della struttura di riferimento.

Gli esiti sono tali che il progetto risulta valido ed applicabile, con le specificazioni appositamente contenute nella Relazione geologica.

### 7.5.2 Sostegni unipolari e tripolari

Verifiche nei confronti degli stati limite ultimi (SLU)

Di seguito si riporta una tabella riepilogativa relativa alla verifica dello stato limite di collasso per carico limite dell'insieme fondazione-terreno.

Si precisa che il valore relativo alla colonna  $Q_d, R_d$ , di cui nella tabella seguente, è da intendersi come il valore di progetto della resistenza  $R_d$ , ossia il rapporto fra il carico limite  $q_{lim}$  (calcolato come sopra esposto) ed il valore del coefficiente parziale di sicurezza  $\gamma_R$  relativo alla capacità portante del complesso terreno-fondazione, in relazione all'approccio utilizzato. Nel caso in esame il coefficiente parziale di sicurezza  $\gamma_R$  è stato assunto pari a 2,3 (tabella 6.4.I del D.M. 2018).

Si precisa che, nella sottostante tabella:

- la coppia  $Q_{Ed}$  e  $Q_d, R_d$  è relativa alla combinazione di carico, fra tutte quelle esaminate, che da luogo al minimo coefficiente di sicurezza (CS);
- nelle colonne “per  $N_q$ , per  $N_c$  e per  $N_\gamma$ ”, relative ai “Coef. Cor. Terzaghi”, viene riportato il prodotto tra i vari coefficienti correttivi presenti nell'espressione generale del carico limite. Ad esempio si è posto:

$$\text{Coef. Cor. Terzaghi per } N_q = s_q \cdot d_q \cdot i_q \cdot g_q \cdot b_q \cdot \psi_{q1} \cdot Z_q$$

$$\text{Coef. Cor. Terzaghi per } N_c = s_c \cdot d_c \cdot i_c \cdot g_c \cdot b_c \cdot \psi_{c1} \cdot Z_c$$

$$\text{Coef. Cor. Terzaghi per } N_\gamma = s_\gamma \cdot d_\gamma \cdot i_\gamma \cdot g_\gamma \cdot b_\gamma \cdot \psi_{\gamma1} \cdot r_\gamma \cdot Z_\gamma \cdot C_\gamma$$

## VERIFICHE CARICO LIMITE FONDAZIONI DIRETTE ALLO SLU

Verifiche Carico Limite fondazioni dirette allo SLU

Id <sub>Fnd</sub>	CS	L <sub>x</sub>	L <sub>y</sub>	R <sub>tz</sub>	Z <sub>p.cmp</sub>	Z <sub>Fld</sub>	Cmp T	C. Terzaghi	Q <sub>Ed</sub>	Q <sub>Rd</sub>	R <sub>f</sub>
-------------------	----	----------------	----------------	-----------------	--------------------	------------------	-------	-------------	-----------------	-----------------	----------------

Costruzione ed esercizio impianto Agrovoltaiico avente potenza in immissione pari a 66.000 kW e potenza moduli pari a 72.080,19, con relativo collegamento alla rete elettrica, sito in Veglie (LE) al: Fg. 1 part. n. 14-113-134; Fg. 2 part. n. 2-3-53-38-39-87-96-97-98-99-100-101-102-103-104-105-106; Fg. 3 part. n. 25-453-454-46-462-464-465-47-478-479-480-481-482-49; Fg. 4 part. n. 18-569-570 - IMPIANTO SPOT40



								per N <sub>q</sub>	per N <sub>c</sub>	per N <sub>γ</sub>	N <sub>q</sub>	N <sub>c</sub>	N <sub>γ</sub>			
		[m]	[m]	[°]	[m]	[m]								[N/mm <sup>2</sup> ]	[N/mm <sup>2</sup> ]	
Plinto unip	14,8	1,40	1,40	180,00	1,05	-	NON Coesivo	1,25	0,00	0,78	16,42	28,70	25,32	0,015	0,222	NO
Plinto trip	10,60	1,60	1,60	180,00	1,05	-	NON Coesivo	1,25	0,00	0,78	16,38	28,54	25,31	0,021	0,224	NO

### LEGENDA:

- Id<sub>Fnd</sub>** Descrizione dell'oggetto di fondazione al quale è riferita la verifica.
- CS** Coefficiente di sicurezza ([NS] = Non Significativo se CS ≥ 100; [VNR]= Verifica Non Richiesta; Informazioni aggiuntive sulla condizione: [V] = statica; [E] = eccezionale; [S] = sismica; [N] = sismica non lineare).
- L<sub>x/y</sub>** Dimensione dell'elemento di fondazione.
- R<sub>tz</sub>** Angolo compreso tra l'asse X e il lato più lungo del minimo rettangolo che delimita il poligono della platea.
- Z<sub>P.cmp</sub>** Profondità di posa dell'elemento di fondazione dal piano campagna.
- Z<sub>Fid</sub>** Profondità della falda dal piano campagna.
- Cmp T** Classificazione del comportamento del terreno ai fini del calcolo.
- C.** Coefficienti correttivi per la formula di Terzaghi.
- Terzaghi**
- Q<sub>Ed</sub>** Carico di progetto sul terreno.
- Q<sub>Rd</sub>** Resistenza di progetto del terreno.
- R<sub>f</sub>** [SI] = elemento con presenza di rinforzo; [NO] = elemento senza rinforzo.

## VERIFICHE CARICO LIMITE FONDAZIONI DIRETTE ALLO SLD

### Verifiche Carico Limite fondazioni dirette allo SLD

Id <sub>Fnd</sub>	CS	L <sub>x</sub>	L <sub>y</sub>	R <sub>tz</sub>	Z <sub>P.cmp</sub>	Z <sub>Fid</sub>	Cmp T	C. Terzaghi						Q <sub>Ed</sub>	Q <sub>Rd</sub>	R <sub>f</sub>
								per N <sub>q</sub>	per N <sub>c</sub>	per N <sub>γ</sub>	N <sub>q</sub>	N <sub>c</sub>	N <sub>γ</sub>			
		[m]	[m]	[°]	[m]	[m]								[N/mm <sup>2</sup> ]	[N/mm <sup>2</sup> ]	
Plinto unip	14,43	1,40	1,40	180,00	1,05	-	NON Coesivo	1,19	0,00	0,63	16,42	28,70	25,32	0,016	0,231	NO
Plinto trip	9,78	1,60	1,60	180,00	1,05	-	NON Coesivo	1,19	0,00	0,63	16,38	28,54	25,31	0,023	0,225	NO

### LEGENDA:



Costruzione ed esercizio impianto Agrovoltaiico avente potenza in immissione pari a 66.000 kW e potenza moduli pari a 72.080,19, con relativo collegamento alla rete elettrica, sito in Veglie (LE) al: Fg. 1 part. n. 14-113-134; Fg. 2 part. n. 2-3-53-38-39-87-96-97-98-99-100-101-102-103-104-105-106; Fg. 3 part. n. 25-453-454-46-462-464-465-47-478-479-480-481-482-49; Fg. 4 part. n. 18-569-570 - IMPIANTO SPOT40



### Verifiche Carico Limite fondazioni dirette allo SLD

Id <sub>Fnd</sub>	CS	L <sub>x</sub>	L <sub>y</sub>	R <sub>tz</sub>	Z <sub>p.cmp</sub>	Z <sub>fnd</sub>	Cmp T	C. Terzaghi						Q <sub>Ed</sub>	Q <sub>Rd</sub>	R <sub>f</sub>
								per N <sub>q</sub>	per N <sub>c</sub>	per N <sub>γ</sub>	N <sub>q</sub>	N <sub>c</sub>	N <sub>γ</sub>			
		[m]	[m]	[°]	[m]	[m]							[N/mm <sup>2</sup> ]	[N/mm <sup>2</sup> ]		

**Id<sub>Fnd</sub>** Descrizione dell'oggetto di fondazione al quale è riferita la verifica.

**CS** Coefficiente di sicurezza ([NS] = Non Significativo se  $CS \geq 100$ ; [VNR]= Verifica Non Richiesta; Informazioni aggiuntive sulla condizione: [V] = statica; [E] = eccezionale; [S] = sismica; [N] = sismica non lineare).

**L<sub>x/y</sub>** Dimensionidell'elemento di fondazione.

**R<sub>tz</sub>** Angolo compreso tra l'asse X e il lato più lungo del minimo rettangolo che delimita il poligono della platea.

**Z<sub>p.cmp</sub>** Profondità di posa dell'elemento di fondazione dal piano campagna.

**Z<sub>fnd</sub>** Profondità della falda dal piano campagna.

**Cmp T** Classificazione del comportamento del terreno ai fini del calcolo.

**C.** Coefficienti correttivi per la formula di Terzaghi.

**Terzaghi**

**Q<sub>Ed</sub>** Carico di progetto sul terreno.

**Q<sub>Rd</sub>** Resistenza di progetto del terreno.

**R<sub>f</sub>** [SI] = elemento con presenza di rinforzo; [NO] = elemento senza rinforzo.

Le verifiche risultano soddisfatte, essendo rispettate i presupposti di capacità portante, dati dal confronto tra la pressione verticale trasmessa dalle fondazioni e la pressione limite per il terreno; la verifica allo scorrimento globale nella direzione parallela al piano di posa della platea di fondazione; le condizioni di idoneo esercizio, determinate dal calcolo dei valori del cedimento massimo atteso, contenuto entro i limiti imposti, come in precedenza descritto.

Considerato il campo di variabilità dimensionale previsto per il manufatto, al variare della configurazione, e considerato che le condizioni di carico assunte sono le più gravose possibili, l'ordine di grandezza delle tensioni esercitate sul terreno può ritenersi rappresentativo e cautelativo per tutti i casi analizzati per mezzo della struttura di riferimento.

Gli esiti sono tali che il progetto risulta valido ed applicabile, con le specificazioni appositamente contenute nella Relazione geologica.

### 7.5.3 Sezionatore tripolare orizzontale

Verifiche nei confronti degli stati limite ultimi (SLU)

Di seguito si riporta una tabella riepilogativa relativa alla verifica dello stato limite di collasso per carico limite dell'insieme fondazione-terreno.

Si precisa che il valore relativo alla colonna  $Q_d, R_d$ , di cui nella tabella seguente, è da intendersi come il valore di progetto della resistenza  $R_d$ , ossia il rapporto fra il carico limite  $q_{lim}$  (calcolato come sopra esposto) ed il valore del coefficiente parziale di sicurezza  $\gamma_R$  relativo alla capacità portante del complesso terreno-fondazione, in relazione all'approccio utilizzato. Nel caso in esame il coefficiente parziale di sicurezza  $\gamma_R$  è stato assunto pari a 2,3 (tabella 6.4.I del D.M. 2018).

Si precisa che, nella sottostante tabella:

- la coppia  $Q_{Ed}$  e  $Q_d, R_d$  è relativa alla combinazione di carico, fra tutte quelle esaminate, che da luogo al minimo coefficiente di sicurezza (CS);
- nelle colonne “per  $N_q$ , per  $N_c$  e per  $N_\gamma$ ”, relative ai “Coef. Cor. Terzaghi”, viene riportato il prodotto tra i vari coefficienti correttivi presenti nell'espressione generale del carico limite. Ad esempio si è posto:

$$\text{Coef. Cor. Terzaghi per } N_q = s_q \cdot d_q \cdot i_q \cdot g_q \cdot b_q \cdot \psi_{q1} \cdot Z_q$$

$$\text{Coef. Cor. Terzaghi per } N_c = s_c \cdot d_c \cdot i_c \cdot g_c \cdot b_c \cdot \psi_{c1} \cdot Z_c$$

$$\text{Coef. Cor. Terzaghi per } N_\gamma = s_\gamma \cdot d_\gamma \cdot i_\gamma \cdot g_\gamma \cdot b_\gamma \cdot \psi_{\gamma1} \cdot r_\gamma \cdot Z_\gamma \cdot C_\gamma$$

## VERIFICHE CARICO LIMITE FONDAZIONI DIRETTE ALLO SLU

### Verifiche Carico Limite fondazioni dirette allo SLU

Id <sub>Fnd</sub>	CS	L <sub>x</sub>	L <sub>y</sub>	R <sub>tz</sub>	Z <sub>p.cmp</sub>	Z <sub>Fld</sub>	Cmp T	C. Terzaghi						Q <sub>Ed</sub>	Q <sub>Rd</sub>	R <sub>f</sub>
								per N <sub>q</sub>	per N <sub>c</sub>	per N <sub>γ</sub>	N <sub>q</sub>	N <sub>c</sub>	N <sub>γ</sub>			
		[m]	[m]	[°]	[m]	[m]							[N/mm <sup>2</sup> ]	[N/mm <sup>2</sup> ]		
Piastra 2	10,9 0	4,80	1,40	180, 00	0,30	-	NON Coesivo	1,26	0,00	0,78	16,4 2	28,7 0	25,3 2	0,021	0,218	N O

### LEGENDA:

**Id<sub>Fnd</sub>** Descrizione dell'oggetto di fondazione al quale è riferita la verifica.

**CS** Coefficiente di sicurezza ([NS] = Non Significativo se  $CS \geq 100$ ; [VNR]= Verifica Non Richiesta; Informazioni aggiuntive sulla condizione: [V] = statica; [E] = eccezionale; [S] = sismica; [N] = sismica non lineare).

**L<sub>x,y</sub>** Dimensionidell'elemento di fondazione.

**R<sub>tz</sub>** Angolo compreso tra l'asse X e il lato più lungo del minimo rettangolo che delimita il poligono della platea.

**Z<sub>p.cmp</sub>** Profondità di posa dell'elemento di fondazione dal piano campagna.

**Z<sub>Fld</sub>** Profondità della falda dal piano campagna.

**Cmp T** Classificazione del comportamento del terreno ai fini del calcolo.

Costruzione ed esercizio impianto Agrovoltaiico avente potenza in immissione pari a 66.000 kW e potenza moduli pari a 72.080,19, con relativo collegamento alla rete elettrica, sito in Veglie (LE) al: Fg. 1 part. n. 14-113-134; Fg. 2 part. n. 2-3-53-38-39-87-96-97-98-99-100-101-102-103-104-105-106; Fg. 3 part. n. 25-453-454-46-462-464-465-47-478-479-480-481-482-49; Fg. 4 part. n. 18-569-570 - IMPIANTO SPOT40



### Verifiche Carico Limite fondazioni dirette allo SLU

Id <sub>Fnd</sub>	CS	L <sub>x</sub>	L <sub>y</sub>	R <sub>tz</sub>	Z <sub>P.cmp</sub>	Z <sub>Fld</sub>	Cmp T	C. Terzaghi						Q <sub>Ed</sub>	Q <sub>Rd</sub>	R <sub>f</sub>
								per N <sub>q</sub>	per N <sub>c</sub>	per N <sub>γ</sub>	N <sub>q</sub>	N <sub>c</sub>	N <sub>γ</sub>			
		[m]	[m]	[°]	[m]	[m]							[N/mm <sup>2</sup> ]	[N/mm <sup>2</sup> ]		

C. Coefficienti correttivi per la formula di Terzaghi.

**Terzaghi**

**Q<sub>Ed</sub>** Carico di progetto sul terreno.

**Q<sub>Rd</sub>** Resistenza di progetto del terreno.

**R<sub>f</sub>** [SI] = elemento con presenza di rinforzo; [NO] = elemento senza rinforzo.

## VERIFICHE CARICO LIMITE FONDAZIONI DIRETTE ALLO SLD

### Verifiche Carico Limite fondazioni dirette allo SLD

Id <sub>Fnd</sub>	CS	L <sub>x</sub>	L <sub>y</sub>	R <sub>tz</sub>	Z <sub>P.cmp</sub>	Z <sub>Fld</sub>	Cmp T	C. Terzaghi						Q <sub>Ed</sub>	Q <sub>Rd</sub>	R <sub>f</sub>
								per N <sub>q</sub>	per N <sub>c</sub>	per N <sub>γ</sub>	N <sub>q</sub>	N <sub>c</sub>	N <sub>γ</sub>			
		[m]	[m]	[°]	[m]	[m]							[N/mm <sup>2</sup> ]	[N/mm <sup>2</sup> ]		
Piastra 2	8,43	4,80	1,40	180,00	0,30	-	NON Coesivo	1,26	0,00	0,78	16,42	28,70	25,32	0,028	0,236	NO

### LEGENDA:

**Id<sub>Fnd</sub>** Descrizione dell'oggetto di fondazione al quale è riferita la verifica.

**CS** Coefficiente di sicurezza ([NS] = Non Significativo se CS ≥ 100; [VNR]= Verifica Non Richiesta; Informazioni aggiuntive sulla condizione: [V] = statica; [E] = eccezionale; [S] = sismica; [N] = sismica non lineare).

**L<sub>x/y</sub>** Dimensionidell'elemento di fondazione.

**R<sub>tz</sub>** Angolo compreso tra l'asse X e il lato più lungo del minimo rettangolo che delimita il poligono della platea.

**Z<sub>P.cmp</sub>** Profondità di posa dell'elemento di fondazione dal piano campagna.

**Z<sub>Fld</sub>** Profondità della falda dal piano campagna.

**Cmp T** Classificazione del comportamento del terreno ai fini del calcolo.

C. Coefficienti correttivi per la formula di Terzaghi.

**Terzaghi**

**Q<sub>Ed</sub>** Carico di progetto sul terreno.

**Q<sub>Rd</sub>** Resistenza di progetto del terreno.

Costruzione ed esercizio impianto Agrovoltaiico avente potenza in immissione pari a 66.000 kW e potenza moduli pari a 72.080,19, con relativo collegamento alla rete elettrica, sito in Veglie (LE) al: Fg. 1 part. n. 14-113-134; Fg. 2 part. n. 2-3-53-38-39-87-96-97-98-99-100-101-102-103-104-105-106; Fg. 3 part. n. 25-453-454-46-462-464-465-47-478-479-480-481-482-49; Fg. 4 part. n. 18-569-570 - IMPIANTO SPOT40



#### Verifiche Carico Limite fondazioni dirette allo SLD

Id <sub>Fnd</sub>	CS	L <sub>x</sub>	L <sub>y</sub>	R <sub>tz</sub>	Z <sub>p.cmp</sub>	Z <sub>Fid</sub>	Cmp T	C. Terzaghi						Q <sub>Ed</sub>	Q <sub>Rd</sub>	R <sub>f</sub>
								per N <sub>q</sub>	per N <sub>c</sub>	per N <sub>γ</sub>	N <sub>q</sub>	N <sub>c</sub>	N <sub>γ</sub>			
		[m]	[m]	[°]	[m]	[m]							[N/mm <sup>2</sup> ]	[N/mm <sup>2</sup> ]		

R<sub>f</sub> [SI] = elemento con presenza di rinforzo; [NO] = elemento senza rinforzo.

Le verifiche risultano soddisfatte, essendo rispettate i presupposti di capacità portante, dati dal confronto tra la pressione verticale trasmessa dalle fondazioni e la pressione limite per il terreno; la verifica allo scorrimento globale nella direzione parallela al piano di posa della platea di fondazione; le condizioni di idoneo esercizio, determinate dal calcolo dei valori del cedimento massimo atteso, contenuto entro i limiti imposti, come in precedenza descritto.

Considerato il campo di variabilità dimensionale previsto per il manufatto, al variare della configurazione, e considerato che le condizioni di carico assunte sono le più gravose possibili, l'ordine di grandezza delle tensioni esercitate sul terreno può ritenersi rappresentativo e cautelativo per tutti i casi analizzati per mezzo della struttura di riferimento.

Gli esiti sono tali che il progetto risulta valido ed applicabile, con le specificazioni appositamente contenute nella Relazione geologica.

#### 7.5.4 Interruttore tripolare

Verifiche nei confronti degli stati limite ultimi (SLU)

Di seguito si riporta una tabella riepilogativa relativa alla verifica dello stato limite di collasso per carico limite dell'insieme fondazione-terreno.

Si precisa che il valore relativo alla colonna Q<sub>d</sub>,R<sub>d</sub>, di cui nella tabella seguente, è da intendersi come il valore di progetto della resistenza R<sub>d</sub>, ossia il rapporto fra il carico limite q<sub>lim</sub> (calcolato come sopra esposto) ed il valore del coefficiente parziale di sicurezza γ<sub>R</sub> relativo alla capacità portante del complesso terreno-fondazione, in relazione all'approccio utilizzato. Nel caso in esame il coefficiente parziale di sicurezza γ<sub>R</sub> è stato assunto pari a 2,3 (tabella 6.4.I del D.M. 2018).

Si precisa che, nella sottostante tabella:

- la coppia Q<sub>Ed</sub> e Q<sub>d</sub>,R<sub>d</sub> è relativa alla combinazione di carico, fra tutte quelle esaminate, che da luogo al minimo coefficiente di sicurezza (CS);
- nelle colonne “per N<sub>q</sub>, per N<sub>c</sub> e per N<sub>γ</sub>”, relative ai “Coef. Cor. Terzaghi”, viene riportato il prodotto tra i vari coefficienti correttivi presenti nell'espressione generale del carico limite. Ad esempio si è posto:

Costruzione ed esercizio impianto Agrovoltaiico avente potenza in immissione pari a 66.000 kW e potenza moduli pari a 72.080,19, con relativo collegamento alla rete elettrica, sito in Veglie (LE) al: Fg. 1 part. n. 14-113-134; Fg. 2 part. n. 2-3-53-38-39-87-96-97-98-99-100-101-102-103-104-105-106; Fg. 3 part. n. 25-453-454-46-462-464-465-47-478-479-480-481-482-49; Fg. 4 part. n. 18-569-570 - IMPIANTO SPOT40



$$\text{Coef. Cor. Terzaghi per } N_q = s_q \cdot d_q \cdot i_q \cdot g_q \cdot b_q \cdot \psi_q \cdot Z_q$$

$$\text{Coef. Cor. Terzaghi per } N_c = s_c \cdot d_c \cdot i_c \cdot g_c \cdot b_c \cdot \psi_c \cdot Z_c$$

$$\text{Coef. Cor. Terzaghi per } N_\gamma = s_\gamma \cdot d_\gamma \cdot i_\gamma \cdot g_\gamma \cdot b_\gamma \cdot \psi_\gamma \cdot r_\gamma \cdot Z_\gamma \cdot C_\gamma$$

## VERIFICHE CARICO LIMITE FONDAZIONI DIRETTE ALLO SLU

### Verifiche Carico Limite fondazioni dirette allo SLU

Id <sub>Fnd</sub>	CS	L <sub>x</sub>	L <sub>y</sub>	R <sub>tz</sub>	Z <sub>P.cmp</sub>	Z <sub>Fld</sub>	Cmp T	C. Terzaghi						Q <sub>Ed</sub>	Q <sub>Rd</sub>	R <sub>f</sub>
								per N <sub>q</sub>	per N <sub>c</sub>	per N <sub>γ</sub>	N <sub>q</sub>	N <sub>c</sub>	N <sub>γ</sub>			
		[m]	[m]	[°]	[m]	[m]							[N/mm <sup>2</sup> ]	[N/mm <sup>2</sup> ]		
Piastra 3	6,96	6,20	2,00	180,00	0,30	-	NON Coesivo	1,24	0,00	0,82	16,38	28,69	25,31	0,032	0,223	NO

### LEGENDA:

**Id<sub>Fnd</sub>** Descrizione dell'oggetto di fondazione al quale è riferita la verifica.

**CS** Coefficiente di sicurezza ([NS] = Non Significativo se CS ≥ 100; [VNR]= Verifica Non Richiesta; Informazioni aggiuntive sulla condizione: [V] = statica; [E] = eccezionale; [S] = sismica; [N] = sismica non lineare).

**L<sub>x/y</sub>** Dimensione dell'elemento di fondazione.

**R<sub>tz</sub>** Angolo compreso tra l'asse X e il lato più lungo del minimo rettangolo che delimita il poligono della platea.

**Z<sub>P.cmp</sub>** Profondità di posa dell'elemento di fondazione dal piano campagna.

**Z<sub>Fld</sub>** Profondità della falda dal piano campagna.

**Cmp T** Classificazione del comportamento del terreno ai fini del calcolo.

**C. Terzaghi** Coefficienti correttivi per la formula di Terzaghi.

**Q<sub>Ed</sub>** Carico di progetto sul terreno.

**Q<sub>Rd</sub>** Resistenza di progetto del terreno.

**R<sub>f</sub>** [SI] = elemento con presenza di rinforzo; [NO] = elemento senza rinforzo.

## VERIFICHE CARICO LIMITE FONDAZIONI DIRETTE ALLO SLD

### Verifiche Carico Limite fondazioni dirette allo SLD

Id <sub>Fnd</sub>	CS	L <sub>x</sub>	L <sub>y</sub>	R <sub>tz</sub>	Z <sub>P.cmp</sub>	Z <sub>Fld</sub>	Cmp T	C. Terzaghi						Q <sub>Ed</sub>	Q <sub>Rd</sub>	R <sub>f</sub>
								per N <sub>q</sub>	per N <sub>c</sub>	per N <sub>γ</sub>	N <sub>q</sub>	N <sub>c</sub>	N <sub>γ</sub>			

Costruzione ed esercizio impianto Agrovoltaiico avente potenza in immissione pari a 66.000 kW e potenza moduli pari a 72.080,19, con relativo collegamento alla rete elettrica, sito in Veglie (LE) al: Fg. 1 part. n. 14-113-134; Fg. 2 part. n. 2-3-53-38-39-87-96-97-98-99-100-101-102-103-104-105-106; Fg. 3 part. n. 25-453-454-46-462-464-465-47-478-479-480-481-482-49; Fg. 4 part. n. 18-569-570 - IMPIANTO SPOT40



		[m]	[m]	[°]	[m]	[m]								[N/mm <sup>2</sup> ]	[N/mm <sup>2</sup> ]	
Piastra 3	6,36	6,20	2,00	180,00	0,30	-	NON Coesivo	1,16	0,00	0,64	16,38	28,69	25,31	0,038	0,242	NO

## LEGENDA:

- Id<sub>Fnd</sub>** Descrizione dell'oggetto di fondazione al quale è riferita la verifica.
- CS** Coefficiente di sicurezza ([NS] = Non Significativo se  $CS \geq 100$ ; [VNR]= Verifica Non Richiesta; Informazioni aggiuntive sulla condizione: [V] = statica; [E] = eccezionale; [S] = sismica; [N] = sismica non lineare).
- L<sub>x,y</sub>** Dimensionidell'elemento di fondazione.
- Rt<sub>z</sub>** Angolo compreso tra l'asse X e il lato più lungo del minimo rettangolo che delimita il poligono della platea.
- Z<sub>p.cmp</sub>** Profondità di posa dell'elemento di fondazione dal piano campagna.
- Z<sub>Fid</sub>** Profondità della falda dal piano campagna.
- Cmp T** Classificazione del comportamento del terreno ai fini del calcolo.
- C.** Coefficienti correttivi per la formula di Terzaghi.
- Terzaghi**
- Q<sub>Ed</sub>** Carico di progetto sul terreno.
- Q<sub>Rd</sub>** Resistenza di progetto del terreno.
- R<sub>f</sub>** [SI] = elemento con presenza di rinforzo; [NO] = elemento senza rinforzo.

Le verifiche risultano soddisfatte, essendo rispettate i presupposti di capacità portante, dati dal confronto tra la pressione verticale trasmessa dalle fondazioni e la pressione limite per il terreno; la verifica allo scorrimento globale nella direzione parallela al piano di posa della platea di fondazione; le condizioni di idoneo esercizio, determinate dal calcolo dei valori del cedimento massimo atteso, contenuto entro i limiti imposti, come in precedenza descritto.

Considerato il campo di variabilità dimensionale previsto per il manufatto, al variare della configurazione, e considerato che le condizioni di carico assunte sono le più gravose possibili, l'ordine di grandezza delle tensioni esercitate sul terreno può ritenersi rappresentativo e cautelativo per tutti i casi analizzati per mezzo della struttura di riferimento.

Gli esiti sono tali che il progetto risulta valido ed applicabile, con le specificazioni appositamente contenute nella Relazione geologica.

### 7.5.5 Edifici protezione utente

Verifiche nei confronti degli stati limite ultimi (SLU)

Di seguito si riporta una tabella riepilogativa relativa alla verifica dello stato limite di collasso per carico limite dell'insieme fondazione-terreno.

Si precisa che il valore relativo alla colonna Q<sub>d</sub>,R<sub>d</sub>, di cui nella tabella seguente, è da intendersi come il valore di progetto della resistenza R<sub>d</sub>, ossia il rapporto fra il carico limite q<sub>lim</sub> (calcolato

come sopra esposto) ed il valore del coefficiente parziale di sicurezza  $\gamma_R$  relativo alla capacità portante del complesso terreno-fondazione, in relazione all'approccio utilizzato. Nel caso in esame il coefficiente parziale di sicurezza  $\gamma_R$  è stato assunto pari a 2,3 (tabella 6.4.I del D.M. 2018).

Si precisa che, nella sottostante tabella:

- la coppia  $Q_{Ed}$  e  $Q_{d,Rd}$  è relativa alla combinazione di carico, fra tutte quelle esaminate, che da luogo al minimo coefficiente di sicurezza (CS);
- nelle colonne “per  $N_q$ , per  $N_c$  e per  $N_\gamma$ ”, relative ai “Coef. Cor. Terzaghi”, viene riportato il prodotto tra i vari coefficienti correttivi presenti nell'espressione generale del carico limite. Ad esempio si è posto:

$$\text{Coef. Cor. Terzaghi per } N_q = s_q \cdot d_q \cdot i_q \cdot g_q \cdot b_q \cdot \psi_q \cdot Z_q$$

$$\text{Coef. Cor. Terzaghi per } N_c = s_c \cdot d_c \cdot i_c \cdot g_c \cdot b_c \cdot \psi_c \cdot Z_c$$

$$\text{Coef. Cor. Terzaghi per } N_\gamma = s_\gamma \cdot d_\gamma \cdot i_\gamma \cdot g_\gamma \cdot b_\gamma \cdot \psi_\gamma \cdot r_\gamma \cdot Z_\gamma \cdot C_\gamma$$

## VERIFICHE CARICO LIMITE FONDAZIONI DIRETTE ALLO SLU

### Verifiche Carico Limite fondazioni dirette allo SLU

Id <sub>Fnd</sub>	CS	L <sub>x</sub>	L <sub>y</sub>	R <sub>tz</sub>	Z <sub>p.cmp</sub>	Z <sub>Fld</sub>	Cmp T	C. Terzaghi						Q <sub>Ed</sub>	Q <sub>Rd</sub>	R <sub>f</sub>
								per N <sub>q</sub>	per N <sub>c</sub>	per N <sub>γ</sub>	N <sub>q</sub>	N <sub>c</sub>	N <sub>γ</sub>			
		[m]	[m]	[°]	[m]	[m]								[N/mm <sup>2</sup> ]	[N/mm <sup>2</sup> ]	
Piastra 4	4,68	22,50	4,60	180,00	0,30	-	NON Coesivo	1,27	0,00	0,78	16,41	28,70	25,31	0,056	0,262	NO

### LEGENDA:

**Id<sub>Fnd</sub>** Descrizione dell'oggetto di fondazione al quale è riferita la verifica.

**CS** Coefficiente di sicurezza ([NS] = Non Significativo se CS ≥ 100; [VNR]= Verifica Non Richiesta; Informazioni aggiuntive sulla condizione: [V] = statica; [E] = eccezionale; [S] = sismica; [N] = sismica non lineare).

**L<sub>x/y</sub>** Dimensione dell'elemento di fondazione.

**R<sub>tz</sub>** Angolo compreso tra l'asse X e il lato più lungo del minimo rettangolo che delimita il poligono della platea.

**Z<sub>p.cmp</sub>** Profondità di posa dell'elemento di fondazione dal piano campagna.

**Z<sub>Fld</sub>** Profondità della falda dal piano campagna.

**Cmp T** Classificazione del comportamento del terreno ai fini del calcolo.

**C.** Coefficienti correttivi per la formula di Terzaghi.

**Terzaghi**

Costruzione ed esercizio impianto Agrovoltaiico avente potenza in immissione pari a 66.000 kW e potenza moduli pari a 72.080,19, con relativo collegamento alla rete elettrica, sito in Veglie (LE) al: Fg. 1 part. n. 14-113-134; Fg. 2 part. n. 2-3-53-38-39-87-96-97-98-99-100-101-102-103-104-105-106; Fg. 3 part. n. 25-453-454-46-462-464-465-47-478-479-480-481-482-49; Fg. 4 part. n. 18-569-570 - IMPIANTO SPOT40



### Verifiche Carico Limite fondazioni dirette allo SLU

Id <sub>Fnd</sub>	CS	L <sub>x</sub>	L <sub>y</sub>	R <sub>tz</sub>	Z <sub>P.cmp</sub>	Z <sub>Fid</sub>	Cmp T	C. Terzaghi						Q <sub>Ed</sub>	Q <sub>Rd</sub>	R <sub>f</sub>
								per N <sub>q</sub>	per N <sub>c</sub>	per N <sub>γ</sub>	N <sub>q</sub>	N <sub>c</sub>	N <sub>γ</sub>			
		[m]	[m]	[°]	[m]	[m]							[N/mm <sup>2</sup> ]	[N/mm <sup>2</sup> ]		

**Q<sub>Ed</sub>** Carico di progetto sul terreno.

**Q<sub>Rd</sub>** Resistenza di progetto del terreno.

**R<sub>f</sub>** [SI] = elemento con presenza di rinforzo; [NO] = elemento senza rinforzo.

### VERIFICHE CARICO LIMITE FONDAZIONI DIRETTE ALLO SLD

#### Verifiche Carico Limite fondazioni dirette allo SLD

Id <sub>Fnd</sub>	CS	L <sub>x</sub>	L <sub>y</sub>	R <sub>tz</sub>	Z <sub>P.cmp</sub>	Z <sub>Fid</sub>	Cmp T	C. Terzaghi						Q <sub>Ed</sub>	Q <sub>Rd</sub>	R <sub>f</sub>
								per N <sub>q</sub>	per N <sub>c</sub>	per N <sub>γ</sub>	N <sub>q</sub>	N <sub>c</sub>	N <sub>γ</sub>			
		[m]	[m]	[°]	[m]	[m]							[N/mm <sup>2</sup> ]	[N/mm <sup>2</sup> ]		
Piastra 4	4,89	22,50	4,60	180,00	0,30	-	NON Coesivo	1,24	0,00	0,56	16,41	28,70	25,31	0,065	0,318	NO

#### LEGENDA:

**Id<sub>Fnd</sub>** Descrizione dell'oggetto di fondazione al quale è riferita la verifica.

**CS** Coefficiente di sicurezza ([NS] = Non Significativo se CS ≥ 100; [VNR]= Verifica Non Richiesta; Informazioni aggiuntive sulla condizione: [V] = statica; [E] = eccezionale; [S] = sismica; [N] = sismica non lineare).

**L<sub>x/y</sub>** Dimensionidell'elemento di fondazione.

**R<sub>tz</sub>** Angolo compreso tra l'asse X e il lato più lungo del minimo rettangolo che delimita il poligono della platea.

**Z<sub>P.cmp</sub>** Profondità di posa dell'elemento di fondazione dal piano campagna.

**Z<sub>Fid</sub>** Profondità della falda dal piano campagna.

**Cmp T** Classificazione del comportamento del terreno ai fini del calcolo.

**C.** Coefficienti correttivi per la formula di Terzaghi.

**Terzaghi**

**Q<sub>Ed</sub>** Carico di progetto sul terreno.

**Q<sub>Rd</sub>** Resistenza di progetto del terreno.

**R<sub>f</sub>** [SI] = elemento con presenza di rinforzo; [NO] = elemento senza rinforzo.

Le verifiche risultano soddisfatte, essendo rispettate i presupposti di capacità portante, dati dal confronto tra la pressione verticale trasmessa dalle fondazioni e la pressione limite per il terreno;



Costruzione ed esercizio impianto Agrovoltaiico avente potenza in immissione pari a 66.000 kW e potenza moduli pari a 72.080,19, con relativo collegamento alla rete elettrica, sito in Veglie (LE) al: Fg. 1 part. n. 14-113-134; Fg. 2 part. n. 2-3-53-38-39-87-96-97-98-99-100-101-102-103-104-105-106; Fg. 3 part. n. 25-453-454-46-462-464-465-47-478-479-480-481-482-49; Fg. 4 part. n. 18-569-570 - IMPIANTO SPOT40



la verifica allo scorrimento globale nella direzione parallela al piano di posa della platea di fondazione; le condizioni di idoneo esercizio, determinate dal calcolo dei valori del cedimento massimo atteso, contenuto entro i limiti imposti, come in precedenza descritto.

Considerato il campo di variabilità dimensionale previsto per il manufatto, al variare della configurazione, e considerato che le condizioni di carico assunte sono le più gravose possibili, l'ordine di grandezza delle tensioni esercitate sul terreno può ritenersi rappresentativo e cautelativo per tutti i casi analizzati per mezzo della struttura di riferimento.

Gli esiti sono tali che il progetto risulta valido ed applicabile, con le specificazioni appositamente contenute nella Relazione geologica.

### 7.5.6 Impianto di prima pioggia

Verifiche nei confronti degli stati limite ultimi (SLU)

Di seguito si riporta una tabella riepilogativa relativa alla verifica dello stato limite di collasso per carico limite dell'insieme fondazione-terreno.

Si precisa che il valore relativo alla colonna  $Q_d, R_d$ , di cui nella tabella seguente, è da intendersi come il valore di progetto della resistenza  $R_d$ , ossia il rapporto fra il carico limite  $q_{lim}$  (calcolato come sopra esposto) ed il valore del coefficiente parziale di sicurezza  $\gamma_R$  relativo alla capacità portante del complesso terreno-fondazione, in relazione all'approccio utilizzato. Nel caso in esame il coefficiente parziale di sicurezza  $\gamma_R$  è stato assunto pari a 2,3 (tabella 6.4.I del D.M. 2018).

Si precisa che, nella sottostante tabella:

- la coppia  $Q_{Ed}$  e  $Q_d, R_d$  è relativa alla combinazione di carico, fra tutte quelle esaminate, che da luogo al minimo coefficiente di sicurezza (CS);
- nelle colonne “per  $N_q$ , per  $N_c$  e per  $N_\gamma$ ”, relative ai “Coef. Cor. Terzaghi”, viene riportato il prodotto tra i vari coefficienti correttivi presenti nell'espressione generale del carico limite. Ad esempio si è posto:

$$\text{Coef. Cor. Terzaghi per } N_q = s_q \cdot d_q \cdot i_q \cdot g_q \cdot b_q \cdot \psi_{q1} \cdot Z_q$$

$$\text{Coef. Cor. Terzaghi per } N_c = s_c \cdot d_c \cdot i_c \cdot g_c \cdot b_c \cdot \psi_{c1} \cdot Z_c$$

$$\text{Coef. Cor. Terzaghi per } N_\gamma = s_\gamma \cdot d_\gamma \cdot i_\gamma \cdot g_\gamma \cdot b_\gamma \cdot \psi_{\gamma1} \cdot r_\gamma \cdot Z_\gamma \cdot C_\gamma$$

## VERIFICHE CARICO LIMITE FONDAZIONI DIRETTE ALLO SLU

Verifiche Carico Limite fondazioni dirette allo SLU

Id <sub>Fnd</sub>	CS	L <sub>x</sub>	L <sub>y</sub>	R <sub>tz</sub>	Z <sub>p.cmp</sub>	Z <sub>Fld</sub>	Cmp T	C. Terzaghi	Q <sub>Ed</sub>	Q <sub>Rd</sub>	R <sub>r</sub>
-------------------	----	----------------	----------------	-----------------	--------------------	------------------	-------	-------------	-----------------	-----------------	----------------

Costruzione ed esercizio impianto Agrovoltaiico avente potenza in immissione pari a 66.000 kW e potenza moduli pari a 72.080,19, con relativo collegamento alla rete elettrica, sito in Veglie (LE) al: Fg. 1 part. n. 14-113-134; Fg. 2 part. n. 2-3-53-38-39-87-96-97-98-99-100-101-102-103-104-105-106; Fg. 3 part. n. 25-453-454-46-462-464-465-47-478-479-480-481-482-49; Fg. 4 part. n. 18-569-570 - IMPIANTO SPOT40



								per N <sub>q</sub>	per N <sub>c</sub>	per N <sub>γ</sub>	N <sub>q</sub>	N <sub>c</sub>	N <sub>γ</sub>			
		[m]	[m]	[°]	[m]	[m]								[N/mm <sup>2</sup> ]	[N/mm <sup>2</sup> ]	
Piastra 5	5,62	6,00	2,60	180,00	2,80	-	NON Coesivo	1,25	0,00	0,72	15,36	27,32	24,33	0,021	0,118	NO

### LEGENDA:

- Id<sub>Fnd</sub>** Descrizione dell'oggetto di fondazione al quale è riferita la verifica.
- CS** Coefficiente di sicurezza ([NS] = Non Significativo se CS ≥ 100; [VNR]= Verifica Non Richiesta; Informazioni aggiuntive sulla condizione: [V] = statica; [E] = eccezionale; [S] = sismica; [N] = sismica non lineare).
- L<sub>x/y</sub>** Dimensionidell'elemento di fondazione.
- Rtz** Angolo compreso tra l'asse X e il lato più lungo del minimo rettangolo che delimita il poligono della platea.
- Z<sub>p.cmp</sub>** Profondità di posa dell'elemento di fondazione dal piano campagna.
- Z<sub>Fld</sub>** Profondità della falda dal piano campagna.
- Cmp T** Classificazione del comportamento del terreno ai fini del calcolo.
- C. Terzaghi** Coefficienti correttivi per la formula di Terzaghi.
- Q<sub>Ed</sub>** Carico di progetto sul terreno.
- Q<sub>Rd</sub>** Resistenza di progetto del terreno.
- R<sub>f</sub>** [SI] = elemento con presenza di rinforzo; [NO] = elemento senza rinforzo.

## VERIFICHE CARICO LIMITE FONDAZIONI DIRETTE ALLO SLD

### Verifiche Carico Limite fondazioni dirette allo SLD

Id <sub>Fnd</sub>	CS	L <sub>x</sub>	L <sub>y</sub>	Rtz	Z <sub>p.cmp</sub>	Z <sub>Fld</sub>	Cmp T	C. Terzaghi						Q <sub>Ed</sub>	Q <sub>Rd</sub>	R <sub>f</sub>
								per N <sub>q</sub>	per N <sub>c</sub>	per N <sub>γ</sub>	N <sub>q</sub>	N <sub>c</sub>	N <sub>γ</sub>			
		[m]	[m]	[°]	[m]	[m]								[N/mm <sup>2</sup> ]	[N/mm <sup>2</sup> ]	
Piastra 5	7,92	6,00	2,60	180,00	2,80	-	NON Coesivo	1,22	0,00	0,68	15,36	27,32	24,33	0,025	0,198	NO

### LEGENDA:

- Id<sub>Fnd</sub>** Descrizione dell'oggetto di fondazione al quale è riferita la verifica.
- CS** Coefficiente di sicurezza ([NS] = Non Significativo se CS ≥ 100; [VNR]= Verifica Non Richiesta; Informazioni aggiuntive sulla condizione: [V] = statica; [E] = eccezionale; [S] = sismica; [N] = sismica non lineare).
- L<sub>x/y</sub>** Dimensionidell'elemento di fondazione.

Costruzione ed esercizio impianto Agrovoltaiico avente potenza in immissione pari a 66.000 kW e potenza moduli pari a 72.080,19, con relativo collegamento alla rete elettrica, sito in Veglie (LE) al: Fg. 1 part. n. 14-113-134; Fg. 2 part. n. 2-3-53-38-39-87-96-97-98-99-100-101-102-103-104-105-106; Fg. 3 part. n. 25-453-454-46-462-464-465-47-478-479-480-481-482-49; Fg. 4 part. n. 18-569-570 - IMPIANTO SPOT40



**Verifiche Carico Limite fondazioni dirette allo SLD**

Id <sub>Fnd</sub>	CS	L <sub>x</sub>	L <sub>y</sub>	R <sub>tz</sub>	Z <sub>p.cmp</sub>	Z <sub>Fld</sub>	Cmp T	C. Terzaghi						Q <sub>Ed</sub>	Q <sub>Rd</sub>	R <sub>f</sub>
								per N <sub>q</sub>	per N <sub>c</sub>	per N <sub>γ</sub>	N <sub>q</sub>	N <sub>c</sub>	N <sub>γ</sub>			
		[m]	[m]	[°]	[m]	[m]							[N/mm <sup>2</sup> ]	[N/mm <sup>2</sup> ]		

**R<sub>tz</sub>** Angolo compreso tra l'asse X e il lato più lungo del minimo rettangolo che delimita il poligono della platea.

**Z<sub>p.cmp</sub>** Profondità di posa dell'elemento di fondazione dal piano campagna.

**Z<sub>Fld</sub>** Profondità della falda dal piano campagna.

**Cmp T** Classificazione del comportamento del terreno ai fini del calcolo.

**C.** Coefficienti correttivi per la formula di Terzaghi.

**Terzaghi**

**Q<sub>Ed</sub>** Carico di progetto sul terreno.

**Q<sub>Rd</sub>** Resistenza di progetto del terreno.

**R<sub>f</sub>** [SI] = elemento con presenza di rinforzo; [NO] = elemento senza rinforzo.

Le verifiche risultano soddisfatte, essendo rispettate i presupposti di capacità portante, dati dal confronto tra la pressione verticale trasmessa dalle fondazioni e la pressione limite per il terreno; la verifica allo scorrimento globale nella direzione parallela al piano di posa della platea di fondazione; le condizioni di idoneo esercizio, determinate dal calcolo dei valori del cedimento massimo atteso, contenuto entro i limiti imposti, come in precedenza descritto.

Considerato il campo di variabilità dimensionale previsto per il manufatto, al variare della configurazione, e considerato che le condizioni di carico assunte sono le più gravose possibili, l'ordine di grandezza delle tensioni esercitate sul terreno può ritenersi rappresentativo e cautelativo per tutti i casi analizzati per mezzo della struttura di riferimento.

Gli esiti sono tali che il progetto risulta valido ed applicabile, con le specificazioni appositamente contenute nella Relazione geologica.